



بحوث جغرافية



سلسلة مكملة دورية تصدرها الجمعية الجغرافية السعودية

٩٢

دراسة العلاقة بين الكتل الهوائية الشتوية والخصائص المناخية
في شمال المملكة العربية السعودية

د. فوزية بنت عمر بخرجي

جامعة الملك سعود الرياض المملكة العربية السعودية

م٢٠١٠ هـ ١٤٣١

()

هيئة التحرير

الم الهيئة الاستشارية

المراسلات

sgs@ksu.edu.sa :

بحوث جغرافية

سلسلة متحكمة دورية تصدرها الجمعية الجغرافية السعودية

٩٢

دراسة العلاقة بين الكتل الهوائية الشتوية والخصائص المناخية
في شمال المملكة العربية السعودية

د. فوزية بنت عمر بخرجي

جامعة الملك سعود الرياض المملكة العربية السعودية

م٢٠١٠ هـ١٤٣١

ISSN 1018-1423
Key title =Buhut Gugrafiyya

● مجلس إدارة الجمعية الجغرافية السعودية ●

● ج ● الجمعية الجغرافية السعودية ١٤٣٣ـ

بخرجي، فرزية عمر حسين
دراسة العلاقة بين الكتل الهوائية الشتوية والخصائص المناخية في شمال المملكة
العربية السعودية / فرزية عمر حسين بخرجي - الرياض، ١٤٣٢هـ
٧٤ص؛ ٢٤×١٧ سم-(سلسلة بحوث جغرافية، ٩٢)

ردمك: - - - - -

١- حركة الهواء - أ. العنوان - ب. السلسلة

/

/ :

- - - - - :

بِسْمِ اللّٰهِ الرَّحْمٰنِ الرَّحِيْمِ

الملخص

في بحث سابق بعنوان: (خصائص الرياح السطحية وأثارها البيئية في شمالي المملكة العربية السعودية)، تم تصنيف الكتل الهوائية السائدة في شمال المملكة العربية السعودية وتحديد عدد أيام سيادة كل كتلة، وقد أثار ذلك عدة تساؤلات منها العلاقة بين الخصائص المناخية للكتل الهوائية والصبغة المناخية العامة السائدة في المنطقة، كذلك العلاقة بين ترددات الكتلة القطبية الجافة والحرارة في المنطقة الشمالية.

يقدم هذا البحث تصنيفاً للكتل الهوائية السائدة في شمال المملكة شتاءً باستخدام خواجز الطقس اليومية، ويحدد من خلالها العلاقة بين الخصائص المناخية التفصيلية للكتل الهوائية السائدة وبين السمة المناخية العامة في شهر يناير، كما يحدد باستخدام عدد أيام تكرارات الكتلة القطبية الجافة اتجاه التغير العام. وقد خلص البحث إلى أن الكتلتين القطبيتين الجافة والرطبة تسودان بنسبة ٤٥ - ٥٦٪ من شهر يناير في شمال المملكة، وتسود الكتلة الهوائية الجافة بنسبة ٤٤ - ٥٥٪ من شهر يناير لفترة دراسة من ١٩٨٥ - ٢٠٠٧م، كما أشار اتجاه التغير العام إلى تناقض سيادة الكتلة القطبية الجافة، الذي يُعزى إلى تناقض التيارات الباردة.

المقدمة

اتجهت الدراسات المناخية التطبيقية إلى تصنیف الكتل الهوائية وتحديد خصائصها المناخية بناءً على نماذج الطقس اليومية باستخدام طرق التصنیف الإحصائية. كما تركزت الدراسات الحديثة بدراسة العلاقة بين حركة الكتل الهوائية وبعض المشكلات البيئية، كالتللوجي الجوي، وصحة البيئة، والوفيات السكانية وارتباطها بالتغييرات المناخية، من خلال البحث في خصائص الكتل الهوائية وتردداتها (Kalkstein, 1978) (Parry, 1978).

اعتمدت تلك الدراسات في تحديد نماذج الطقس اليومية على تطبيق طريقة التصنیف المکاني الشامل Spatial Synoptic Classification، التي تعتمد على تجميع المتغيرات الحرارية والرطوبية، التي تؤثر جوهرياً في فعالية عناصر البيئة، وبذلك تحدد خصائص الكتل الهوائية مناخياً بناءً عن خصائصها الديناميكية والحرارية المنبعثة من ظروف بيئاتها المحلية في نطاقات إقليم المصدر، والنطاقات الانتقالية (Schwartz, 1971).

تبرز أهمية دراسة ترددات الكتل الهوائية من خلال نماذج الطقس في توضیح الفروق بين الخصائص الحرارية والديناميكية للكتل الهوائية، والخصائص المناخية للمکان. ومن جهة أخرى، فإنه يمكن بدراسة ترددات الكتل الهوائية - خاصية الكتل الهوائية القطبية الجافة والمرتبطة بتدني درجة الحرارة إلى حدود منخفضة - تحديد اتجاه التغيير فيها، وتحليل اتجاه التغيير الحراري (Davis, 1991)، وما يتربّع على ذلك في تحديد الاختلافات الحرارية المکانية، وتحديد مسبباتها البيئية، كتحديد مصادر التللوث الجوي.

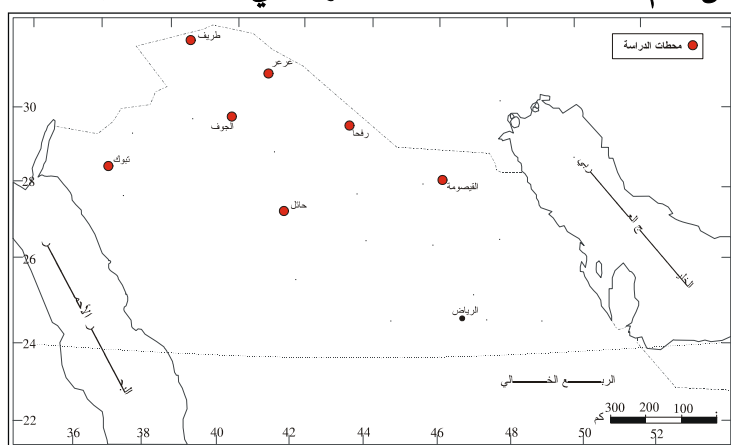
تُعدُّ المنطقةُ الشماليَّةُ في المملكةِ العربيَّةِ السعوديةِ منطقةً انتقاليةً مناخياً، فهي تقعُ في أطرافِ الضغوطِ الجويةِ المرتفعةِ التي تشكُّل إقليمَ المصدرِ للكتلِ الهوائيةِ التي تغزوُ المنطقةَ، والضغطُ المنخفضُ، والأعاصيرُ المارةُ بها، كما تتأثُّرُ بالتياراتِ الهوائيةِ العلويةِ خاصَّةً التيارِ النفاثِ شبهِ المداريِّ، وبذلكْ فإنَّ شبهَ الجزيرةِ العربيَّةِ خلالِ فصلِ الشتاءِ منطقةً انتقاليةً مفتوحةً في شكلِ حزامٍ أيزوباريٍ يسودُهُ الضغطُ المرتفعُ نسبياً. تغزوُ المنطقةُ أحياناً الكتلُ القطبيةُ الجافةُ c_{pk} ، وتارةً أخرىَ الكتلُ القطبيةُ الرطبةُ mp_k ، وتسودُ الكتلُ المداريةُ القاريةُ الجافةُ T_c التي تشكُّلُ وسطَ المملكةِ إقليمَ المصدرِ لها صيفاً وشتاءً.

يسعى هذا البحثُ إلى تحديدِ الخصائصِ المناخيةِ اليوميةِ للكتلِ الهوائيةِ السائدةِ في شماليِّ المملكةِ العربيَّةِ السعوديةِ، عن طريقِ تطبيقِ التصنيفِ المكانيِ الشاملِ (Kalkstein, 1991) Special Synoptic Classification، وهي كذلكْ تحددُ الخصائصِ الحراريةِ والرطوبيةِ، إضافةً إلى مؤشراتِ الضغطِ، وتغطيةِ السماءِ، واتجاهِ الرياحِ وسرعتها، كما يسعى البحثُ إلى تحديدِ الفرقِ بينِ السمةِ المناخيةِ العامةِ للمنطقةِ الشماليَّةِ وتأثيرِ الكتلِ الهوائيةِ الهابطةِ عليها، عن طريقِ حسابِ الفروقِ بينِ المعدلاتِ المناخيةِ السائدةِ وبينِ المعدلاتِ المناخيةِ التي تميزُ الكتلِ الهوائيةِ الهابطةِ عليها.

ولأهميةِ سيادةِ الكتلةِ القطبيةِ الجافةِ، وهي المؤثرُ لسيادةِ فصلِ الشتاءِ والمرتبطةِ بتدنيِ درجةِ الحرارةِ الدنياِ بشكلِ واضحِ (Davis, 1991)، ورغبةِ في تقصيِ الاتجاهِ العامِ لترددِ سيادةِ هذهِ الكتلةِ في المنطقةِ الشماليَّةِ منِ المملكةِ، وعلاقتهاِ بالاختلافاتِ الحراريةِ، فإنهُ سيتمُ دراسةُ تكرارِ عددِ أيامِ سيادةِ هذهِ

الكتلة القطبية الجافة cpk خلال فترة الدراسة ١٩٨٥ - ٢٠٠٧ م في محطات الدراسة شكل رقم (١)، التي تسجل أكبر عدد من الأيام التي تسجل حدوداً حرارية دون الصفر المئوي.

شكل رقم (١): محطات الأرصاد الجوية التي اعتمدت عليها الدراسة



الدراسات السابقة:

تركزت الأبحاث الإحصائية التحليلية للكتل الهوائية في مجال تصنيفها، ودراسة خصائصها المناخية، واستخدامها في تحليل المشكلات البيئية، كالتلود الجوي، وانتشار الفيروسات في المناطق المكتظة بالسكان. وقد تركزت الدراسات المناخية المرتبطة بتحليل الكتل الهوائية وخصائصها المناخية في نطاقات قريبة من أقاليم مصدرها.

وتعدُّ دراسة (Kalkestein, 1995, p. 983) من أهم الدراسات المناخية في مجال التصنيف التي تناولت دراسة في التصنيف المكاني الشامل وتحليل الكتل الهوائية.

وقد استخدم طريق التحليل التجمعي في بناء مجموعات يومية باستخدام خصائصها المناخية في الولايات المتحدة الأمريكية، كما استخدم طريقة العينة النموذجية لتحديد خصائص الكتلة وتمايزها باستخدام التحليل التمايزي. وقد حددت الدراسة الخصائص المناخية لست كتل هوائية وأكثرها تأثيراً. كما حددت الامتداد المساحي لكل كتلة خلال فصل الشتاء.

و ضمن الدراسات التطبيقية لتصنيف الكتل الهوائية دراسة (Scott and Gren, 1996) التي تناولت التحليل الكمي للكتل الهوائية الصيفية في شرق الولايات المتحدة وعلاقتها بالوفيات السكانية. وقد أشارت الدراسة إلى أهمية العلاقة بين عدد الوفيات السكانية اليومي والتغير اليومي في الخصائص المناخية للكتل السائدة.

كما استخدم (Schwartz, 1991) طريقة التحليل المناخي الشامل Synoptic Spatial Classification لتصنيف ١٥ محطة مناخية في شمال الولايات المتحدة الأمريكية بغرض تحليل أنماط الطقس السائدة باستخدام القراءات المناخية اليومية شتاء للفترة ١٩٥٨ - ١٩٨١ م واستنتج أن هناك ثلث كتل هوائية سائدة.

وأكدها بدراسة بعنوان المنهج التكاملي لتصنيف الكتل الهوائية في الشمال الأوسط من الولايات المتحدة الأمريكية (1991م)، وذلك بإدماج البيانات المناخية السطحية والعليا في منطقة دراسته، وذلك عند مستوى ٨٥٠ مليباراً. وبذلك حقق البحث توافر معلومات شاملة عن خصائص الكتل الهوائية السائدة واتجاه حركتها. إضافة إلى إمكانية التنبؤ بقيم درجة حرارة نقطة الندى عند مستوى ٨٥٠ مليباراً باستخدام القراءات السطحية. كما حدد الفترات

الانتقالية (يوم) بين سيادة كتلة هوائية وأخرى باستخدام التحليل الإحصائي لقيمة ز للتوزيع التكراري لسيادة الكتل في كل محطة.

درس (Scoot, Sheridan, 2001) تطوير تصنيف نماذج الطقس في شمال الولايات المتحدة الأمريكية، وهي دراسة تطويرية لنموذج التصنيف المناخي الشامل SSC، وتطوير منهجية العينة النموذجية (يوم) التي تمثل خصائص الكتل السائدة في كل محطة، لتشمل نطاقات كبيرة في الولايات المتحدة وكندا بعدد ٣٢٧ محطة، وتمثل فترة زمنية ٤٤ سنة على موقع على الإنترنت، مما يسمح لدراسة أكثر شمالاً لخصائص الكتل الهوائية السائدة في قارة أمريكا الشمالية. كما تمت دراسة الكتل الهوائية في شمال المملكة العربية السعودية دراسة بعنوان "خصائص الرياح السطحية وتأثيراتها البيئية في شمال المملكة العربية السعودية" بخريجي ٢٠٠٣، وقد تم حساب عدد أيام سيادة الكتلة الهوائية في منطقة الدراسة بناءً على خصائصها الحرارية والرطوبية.

ومن جهة أخرى فقد استخدمت السلسل الزمنية لدراسة السجلات الحرارية طويلة المدى لتحليل اتجاهات التغير الحراري، ومنها (James Hansen, 1987)، كذلك دراسة كل من التغير الحراري والمطري في كندا، والولايات المتحدة (Kalkstein, Punne, 199,P. 1153)، ودراسة (Higuchi,k., 1993)، التي قامت بإحصاء الكتل القطبية الهابهة في دراسة لأربع محطات، تؤكد حدوث تغيرات واضحة في خصائص الكتل القطبية على مدى أربعين سنة. وما سبق فإن البحث في مجال الكتل الهوائية نادر في العروض المدارية، وتقديم هذه الدراسة مقارنة بين الخصائص المناخية للكتل الهوائية في شمال المملكة

العربية السعودية والظروف المناخية السائدة فيها، إضافة إلى تقصي ترددات الكتلة القطبية الجافة، ودراسة اتجاه التغير فيها.

أهداف البحث:

يحقق البحث الأهداف الآتية :

- ١ - تصنيف الكتل الهوائية السائدة شتاءً في محطات المنطقة الشمالية في المملكة العربية السعودية، وهي : طريف، عرعر، القيصومة، الجوف، تبوك، رفحاء، وحائل. واختيرت المحطات بناءً على عدد أيام التناقض الحراري دون الصفر المئوي.
- ٢ - اختبار التمايز بين الكتل الهوائية السائدة في محطات المنطقة الشمالية، لتحديد جودة الفصل بين الكتل الهوائية السائدة في شمالي المملكة العربية السعودية باستخدام التحليل التمايزي Discernment Analysis.
- ٣ - تحديد الاختلاف بين الخصائص المناخية للكتل الهوائية والخصائص المناخية السائدة في المنطقة الشمالية، وذلك باستخدام معامل التباين (اختبارات).
- ٤ - تحديد اتجاه التغير الحراري باستخدام السلسل الزمنية ومعادلة الانحدار الخطى باعتماد عدد الأيام التكرارية للكتلة القطبية الجافة.

أسلوب البحث:

استخدم هذا البحث أسلوب التصنيف المكاني الشامل Spatial Synoptic Classification، وهو مقياس فريد يسهل تقدير تأثيرات عناصر الطقس من خلال تجمعات متجانسة تستخدم في الدراسات التحليلية البيئية وتغير المناخ.

يرمز لهذا التصنيف SSC، الذي يفترض مطابقة مبدئية للكتل الهوائية الأساسية بخصائصها المناخية عند كل موقع. ويطلب تحديد عينة نموذجية يومية تمثل كل كتلة هوائية سائدة.

يعتمد أسلوب التصنيف المكاني على طريقة التحليل التجمعي Cluster Analysis، إحدى طرق التحليل الإحصائي ضمن البرنامج الإحصائي Spss، الذي يوظف القراءات المناخية اليومية في صورة حالات تمثل (الأيام) في مجموعات بناءً على خصائصها المناخية (Crow, 1971)، ويعتمد أساس التجميع في وحدات تجتمعية على مربع المسافة ومعامل التباين، ويتم تحديد عدد الكتل السائدة باستخدام معامل Linkage Avenge. وتم مقارنة خصائص الكتلة الهوائية بناءً على خصائصها الحرارية، والرطوبية، ونقطة الندى مقارنة بالخصائص المناخية للكتل الهوائية حسب أقلاليم مصدرها (Stahaler, 1978, p. 85).

١ - يتم تطبيق أسلوب التصنيف المكاني الشامل SSC باستخدام القراءات المناخية اليومية لشهر يناير للفترة بين ١٩٨٥ - ٢٠٠٧م، الذي يتبع طريقة التحليل العقودي Cluster Analysis، وغير الهرمي kmeans، وذلك بتجميع القراءات المناخية في تجمعات متجانسة وإبراز خصائص كل كتلة وعدد أيامها، وذلك من خلال التفصيلات المرفقة بالنتائج membership. ويعتمد البحث القراءات المناخية الآتية: درجة الحرارة العظمى والدنيا اليومية °م، معدل درجة الحرارة اليومية °م، الرطوبة النسبية العظمى والدنيا٪، معدل الرطوبة النسبية ٪، قراءة الضغط الجوي اليومية عند مستوى سطح البحر (مليبار). معدل سرعة رياح

اليومية كم/ساعة، نسبة تغيم السماء اليومي % ومعدل درجة حرارة نقطة الندى [وقد حسب بمعادلة رياضية] (ملحق ١).

٢ - يتم تحديد عينة نموذجية مكونة من ٣٠ قراءة يومية تمثل الخصائص المناخية لكل كتلة هوائية ويطلق عليها (Seed Day) (Kalkstein, 1996)، وذلك لتحديد أيقونة Membership. أحد مخرجات التحليل التجميمي، وحيث إن كل وحدة تجميمية أكثر من ثلاثة أيام هي دالة على سيطرة في الكتلة الهوائية (Kalkstein, 1991: 990)، وبذلك تم تحديد الكتل، ويعتبر اليوم الوسط منها هو الممثل لخصائص الكتلة.

نتائج البحث:

أفرز التصنيف المكاني الشامل ثلاث تجميمات تمثل ثلاث كتل هوائية متجانسة الخصائص، وهي الكتلة القطبية الجافة cp_k ، والكتلة القطبية الراطبة mp_k ، والكتلة الحرارية الجافة T .

ومن خلال تتبع الجداول رقم (١ - ٢ - ٣ - ٤ - ٥)، والأشكال رقم (٢ - ٣ - ٤)، وخرائط الضغط الجوي لفصل الشتاء (Lockwood, 1979: 108) (Pedgley, 1974: 230) يوضح ما يلي :

أولاً: الكتلة القطبية الجافة: cp_k

تتراوح عدد أيام سيادة الكتلة الهوائية القطبية الجافة بين ٢٦١ يوماً في حائل و ١٢٢ يوماً في طریف بنسبة ٣٥% - ١٧% ، وبذلك فإن الكتلة القطبية الجافة تسود ١١ يوماً خلال شهر يناير في حائل والقيصومة، و ٥ أيام في طریف من الشهر نفسه.

تنخفض عدد أيام سيادة الكتلة القطبية الجافة من الاتجاه الشرقي نحو الشمال الغربي بمعدل يوم واحدٍ لكلٍّ ٥٧ كيلو متراً. يتباين معدل التغير في عدد الأيام، فهو معدل سريع يبلغ يوماً واحداً لكلٍّ ٧٤ كم بين حائل والقيصومة والجوف، وهو ما يعني تأثر منطقة الدراسة تأثراً واضحاً بسيطرة المرتفع الجوي السيبيري عندما يكون باسطاً نفوذه على الخليج العربي وشمال الجزيرة العربية، وهو معدل تغير بطيء، يبلغ يوماً واحداً لكلٍّ ٤٧ كيلو متراً بين تبوك وطريف عندما يكون المرتفع الأوروبي متداً بشكل محوري شرق البحر المتوسط، مسيراً اتجاه التيار النفاث المداري، يصاحب هذه الكتلة انخفاضاً واضحاً في درجة الحرارة الدنيا، وصفاء في السماء، وانخفاض في درجة حرارة نقطة التندى، مما يدل على جفاف الهواء وانخفاض الرطوبة.

جدول رقم (١) :

عدد الأيام والنسب المئوية للكتل الهوائية في شمال المملكة للفترة ١٩٨٥ - ٢٠٠٧ م

| عدد الأيام خلال شهر يناير | | | | CP % | MP % | CT % | المجموع لفترة الدراسة | CP يوم | MP يوم | CT يوم | اسم المحطة |
|---------------------------|----|----|----|------|------|------|-----------------------|--------|--------|--------|------------|
| ٣١ | ٥ | ١١ | ١٥ | ١٧ | ٣٦ | ٤٧ | ٧١٣ | ١٢٢ | ٢٥٦ | ٣٣٥ | طريف |
| ٣١ | ٨ | ٦ | ١٧ | ٢٥ | ٢٠ | ٥٥ | ٧١٣ | ١٧٦ | ١٤٤ | ٣٩٣ | عرعر |
| ٣١ | ٩ | ٧ | ١٥ | ٢٨ | ٢٣ | ٤٩ | ٧١٣ | ١٩٩ | ١٦٦ | ٣٤٨ | رفحاء |
| ٣١ | ١١ | ٦ | ١٤ | ٣٥ | ٣٣ | ٤٩ | ٧١٣ | ٢٥١ | ١٤٩ | ٣٥٣ | القيصومة |
| ٣١ | ٧ | ٧ | ١٧ | ٢١ | ٢٤ | ٥٥ | ٧١٣ | ١٥٢ | ١٦٨ | ٣٩٣ | الجوف |
| ٣١ | ٧ | ١٠ | ١٤ | ٢٣ | ٣٣ | ٤٤ | ٧١٣ | ١٦٣ | ٢٣١ | ٣١٩ | تبوك |
| ٣١ | ١١ | ٦ | ١٤ | ٣٥ | ١٧ | ٤٧ | ٧٤٣ | ٢٦١ | ١٣٠ | ٣٥٢ | حائل |

المصدر: حسبت البيانات بناء على الرئاسة العامة للأرصاد وحماية البيئة.

CT : الكتلة المدارية الجافة. MP : الكتلة القطبية الرطبة. CP : الكتلة القطبية الجافة.

ملاحظة: مدة الدراسة في جميع المحطات ٢٣ سنة، ما عدا محطة حائل - ١٩٨٥ -

(٢٤ سنة). ٢٠٠٨ م

ثانياً: الكتلة القطبية الرطبة:mpk

يتراوح عدد أيام سيادة الكتلة الهوائية القطبية الرطبة بين ١٣٠ يوماً في حائل و ٢٥٦ يوماً في طريف بنسبة ١٧٪ - ٣٦٪، وبذلك فإن الكتلة القطبية الرطبة تسود بما يعادل ٦ أيام في حائل، و ١١ يوماً في طريف خلال شهر يناير. ينخفض عدد أيام سيادة الكتلة القطبية الرطبة من الشمال الغربي باتجاه الجنوب والشرق بمعدل يوم واحد لكل ٦٢ كيلومتراً. يتباين معدل التغير في عدد الأيام فهو معدل سريع يبلغ يوماً واحداً لكل ٢٠٠ كم بين طريف وعرعر، وهو معدل بطيء، يوم واحد لكل ١٦ كم بين الجوف والقصومه.

ويرتبط ذلك بسيادة المنخفضات الجوية والأعاصير، التي مصدرها البحر المتوسط وشمال البحر الأحمر، التي تعبّر باتجاه الشرق يصاحبها رياح غربية من الضغط المرتفع الأوروبي، ورياح جنوبية شرقية من المريخ السيبيري، ورياح شمالية غربية ورطبة متمثلة في الكتلة القطبية الرطبة. وكما هو واضح من جداول العينة النموذجية في محطات الدراسة، فإن حركة الرياح المصاحبة للكتلة القطبية الرطبة تختلف حسب حركة المنخفض، فهي تارة جنوبية شرقية، وتارة أخرى غربية عالية السرعة بين ٨-١٥ كم / الساعة، يصاحب هذه الكتلة، انخفاض في درجة الحرارة الدنيا بين ١-٧ م° بينما يصبح مؤثر الرطوبة عالياً؛ وتسجل درجة حرارة نقطة الندى قراءات تتراوح بين ٢-١٠ م°، كما يصاحبها نسب تغيم عالية.

ثالثاً: الكتلة المدارية الجافة Tc

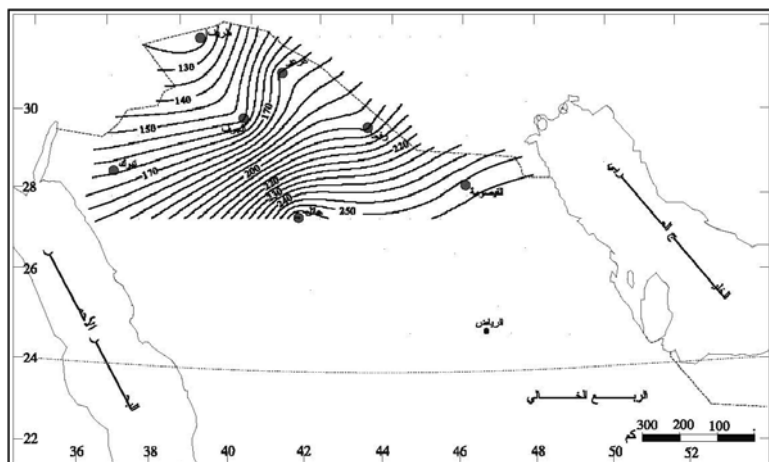
عندما تزداد شدة الضغط المرتفع الأوروبي مسايراً باتجاه التيار النفاث المداري ويُبسط نفوذه شمال الجزيرة العربية مشكلاً خلية من الضغط المرتفع شبه

المداري (Barley and Chorley, 1993, p. 215) تسود في هذه الظروف الكتلة المدارية الجافة، وهي الأكثر سيادةً، نسبةً إلى تواجدها في مناطق سيادتها الأصلية في النطاق المداري، يصاحب هذه الكتلة استقرار في الهواء، ودرجة حرارة معتدلة ٥ - ١٥°C، وصفاء في السماء، كما تسجل فروقاً حراريةً مرتفعةً، حيث ترتفع درجة الحرارة نهاراً مصاحبةً لصفاء السماء، وتحافظ على انخفاضها ليلاً من ٤°C. تدعم هذه الكتلة الهوائية رياح غربية، وشمالية غربية، وجنوبية شرقية، تسود بحسب متقاربة بين محطات الدراسة بين ٤٤ - ٥٥%.

ترواح عدد أيام سيادة الكتلة الهوائية المدارية الجافة بين ٣١٩ يوماً و٣٩٣ يوماً، ويزداد عدد الأيام بالاتجاه نحو الوسط. ويتباين معدل التغير فهو معدل سريع، يبلغ يوماً لكيلو مترًا ٨٥ كيلو مترًا بين تبوك والجوف، ومعدل تغير بطيء، يوم لكيلو مترًا ٣١ كيلو مترًا بين الجوف والقيصومة.

شكل رقم (٢):

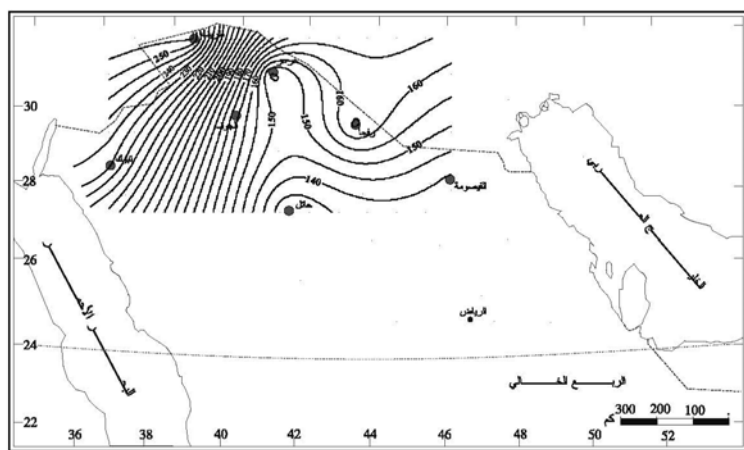
توزيع عدد أيام سيادة الكتلة الهوائية القطبية الجافة خلال الفترة ١٩٨٥ - ٢٠٠٧ م



المصدر: القراءات اليومية الصادرة عن الرئاسة العامة للأرصاد وحماية البيئة للفترة ١٩٨٥ - ٢٠٠٧ م.

شكل رقم (٣) :

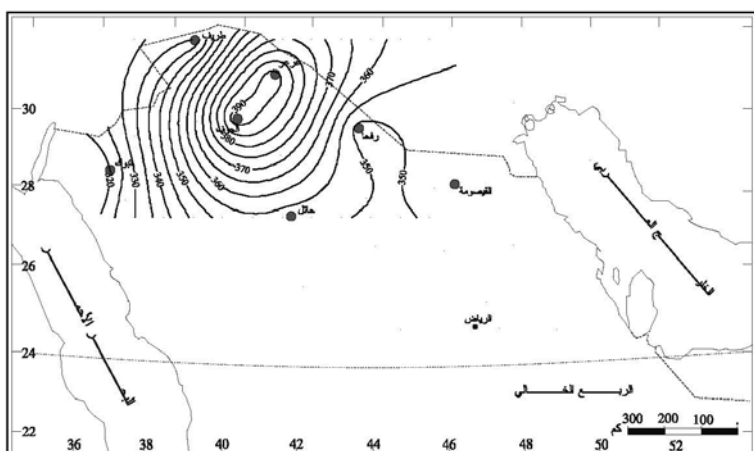
توزيع عدد أيام سيادة الكتلة الهوائية القطبية الرطبة خلال الفترة ١٩٨٥ - ٢٠٠٧ م



المصدر: القراءات اليومية الصادرة عن الرئاسة العامة للأرصاد وحماية البيئة للفترة ١٩٨٥ - ٢٠٠٧ م.

شكل رقم (٤) :

توزيع عدد أيام سيادة الكتلة الهوائية المدارية الجافة خلال الفترة ١٩٨٥ - ٢٠٠٧ م



المصدر: القراءات اليومية الصادرة عن الرئاسة العامة للأرصاد وحماية البيئة للفترة

١٩٨٥ - ٢٠٠٧ م.

اختبار التمايز بين الكتل الهوائية السائدة في المنطقة الشمالية:

اعتمدت الدراسة في عملية تحديد الخصائص المناخية التفصيلية للكتل الهوائية على نتائج التحليل التجمعي من خلال عنصر Membership، ولاختبار استقلالية كل كتلة هوائية بخصائصها المناخية تم تطبيق التحليل التمايزى Discrement Analysis. ويمثل المتغير المعتمد (نوع الكتلة الهوائية السائدة)، وذلك وفقاً لعدد من المتغيرات المستقلة، وهي: درجة الحرارة الدنيا، ومعدل درجة الحرارة اليومية، ودرجة حرارة نقطة الندى، والضغط الجوي، ونسبة تغيم السماء، وسرعة الرياح.

تعتمد فعالية اختبار التمايز تبعاً لنوع العلاقة الارتباطية بين المتغيرات، حيث تشكل المتغيرات الأضعف ارتباطاً أهمية أقوى في تحليل التمايز (الجراش ٢٠٠٤ ص ٣٠٠١)، وتوضح مصفوفة معاملات الارتباط (جدول رقم ٦) أهمية كل من:

درجة الحرارة الدنيا، درجة نقط الندى، الضغط الجوي، سرعة الرياح، ونسبة تغطية السماء كمتغيرات مستقلة في التحليل التمايزى؛ وكما هو موضح من الجداول رقم (٢، ٣، ٤، ٥)، التي تبين نتائج التحليل التمايزى بين الكتل الهوائية السائدة في أربع محطات في المنطقة الشمالية من المملكة العربية السعودية. ويوضح الجدول رقم (٦) أهمية المتغيرات المستقلة المؤثرة في فاعلية التصنيف، وأهمها درجة تغطية السماء، ودرجة الحرارة الدنيا، وحيث إن قيم F ذات دلالة

إحصائية منخفضة، وكذلك مدلول مؤشر (ويلك لامبیدا)، أحد المؤشرات في التحليل، وقيمة مربع كاي، ومستوى الدلالة.

مؤشرات على صحة التصنيف: ويؤكد ذلك مؤشرات دلالة التصنيف، وهي:٪٩٦، و٪٩٠، و٪٩٦١ من: طريف، عرعر، رفحاء، والقصيم، وهي مؤشرات فاعلة لجودة التصنيف بين الكتل الهوائية.

جدول رقم (٢):

عينة نموذجية للكتل الهوائية السائدة شتاءً في محطة طريف

| رمز الكتلة في التحليل التمايزي | نسبة تنطية السماء | سرعة الرياح كم/س | اتجاه الرياح | الضغط الجوي مليبار | درجة حرارة نقطة الندى °م | المعدل اليومي لدرجة الحرارة °م | درجة الحرارة الدنيا °م | تاريخ اليوم | نوع الكتلة | اليوم |
|--|-------------------------|------------------------|-----------------|--------------------------|-----------------------------------|---|------------------------------|-------------|---------------|-------|
| ١ | ٤ | ٥ | SSW | ١٠٢٩ | ٤,٤ - | ٦,٣ | ٢,٩ - | ٧٨/٢٨ | cpk | ١ |
| ١ | ١ | ٧ | N | ١٠٣٠ | ٧ - | ٥,٩ | ٤,٢ - | ٩٠/١١ | cpk | ٢ |
| ١ | ٠ | ٨ | NNE | ١,٣٠ | ٦,٥ - | ١,١ - | ٧,٤ - | ٩٢/٤ | cpk | ٣ |
| ١ | ٢ | ١١ | ESE | ١٠٢٦ | ٧ - | ٢ | ٥,٤ - | ٩٢/٩ | cpk | ٤ |
| ١ | ٥ | ٦ | E | ١٠١٩ | ١٣,٥ - | ٠,٣ - | ٨ - | ٩٢/٢٦ | cpk | ٥ |
| ١ | ٣ | ٩ | ESE | ١٠١٧ | ٤ - | ٩,٤ | ١ | ٩٩/٤ | cpk | ٦ |
| ١ | ١ | ٨ | NE | ١٠١٧ | ٣,٨ - | ٢,٤ | ٤,٥ - | ٢٠٠٠/١٦ | cpk | ٧ |
| ١ | ٠ | ٦ | E | ١٠٢٣ | ٤,٤ - | ٦,٦ | ٢,٤ - | ٢٠٠١/٢٩ | cpk | ٨ |
| ١ | ٠ | ٧ | ESE | ١,١٧ | ١,٩ - | ١٢,٦ | ٤ | ٢٠٠٣/٨ | cpk | ٩ |
| ٢ | ٧ | ١٢ | SE | ١٠٢٤ | ٩,٥٣ | ١٢,٨ | ١٠,٦ | ٨٥/١٤ | mpk | ١٠ |
| ٢ | ٨ | ١٠ | E | ١٠٢٣ | ٤,٢ | ٦,٥ | ١,٢ | ٩/١٤ | mpk | ١١ |
| ٢ | ٧ | ٤ | S | ١٠٢٢ | ١,٢٨ | ٢,٣ | ١,٢ | ٨٨/٤ | mpk | ١٢ |
| ٢ | ٧ | ٩ | ESE | ١٠٢١ | ٥,٨ | ٧,٥ | ٦ | ٩١/١٠ | mpk | ١٣ |
| ٢ | ٨ | ١٥ | ESE | ١٠١٧ | ٦,٩ | ٧,٥ | ٥,٥ | ٩٣/٦ | mpk | ١٤ |
| ٢ | ٥ | ٧ | W | ١٠٠٨ | ٧,٢ | ٩,٥ | ٧ | ٢٠٠٠/٤ | mpk | ١٥ |
| ٢ | ٧ | ٨ | W | ١٠١١ | ٢,٣ | ١,٧ | ١ - | ٢٠٠٠/٢٨ | mpk | ١٦ |
| ٢ | ٤ | ١٠ | W | ١٠١٠ | ٤,٨ | ٦,٣ | ٣ | ٢٠٠٤/١٣ | mpk | ١٧ |
| ٢ | ٥ | ٨ | W | ١٠١٢ | ٥,٩٢ | ٧,٥ | ٦ | ٢٠٠٧/٧ | mpk | ١٨ |

| رمز الكتلة في التحليل التمايزى | نسبة تفطية السماء | سرعة الرياح كم/س | اتجاه الرياح | الضغط الجوى مليبار | درجة حرارة نقطة الندى م | المعدل اليومي للدرجة الحرارة م | درجة الحرارة الدنيا م | تاريخ اليوم | نوع الكتلة | اليوم |
|--|-------------------------|------------------------|-----------------|--------------------------|----------------------------------|---|-----------------------------|-------------|---------------|-------|
| ٣ | ٠ | ٥ | SE | ١٠٢٥ | ٠,٧ - | ٦,٩ | ١,٢ | ٨٥/٥ | ct | ١٩ |
| ٣ | ١ | ٩ | E | ١٠٢٠ | ١,١ | ٧,٩ | ٢,٥ | ٩٤/٨ | ct | ٢٠ |
| ٣ | ٤ | ١١ | SE | ١٠٢٠ | ٢,٧ | ١٠,٩ | ٤ | ٩٦ -٣ | ct | ٢١ |
| ٣ | ٠ | ٣ | ESE | ١٠٢٦ | ٨,٦ | ٨,٦ | ١ | ٩٩/١١ | ct | ٢٢ |
| ٣ | ٢ | ٨ | ESE | ١٠٢٠ | ٦,٤ | ٦,٤ | ١,٥ | ٢٠٠٠/١٢ | ct | ٢٣ |
| ٣ | ٠ | ٨ | SSE | ١٠٢٢ | ٩,٢ | ٩,٨ | ٢ | ٢٠٠٣/٣١ | ct | ٢٤ |
| ٣ | ١ | ٦ | E | ١٠١٨ | ٦,٩ | ٦,٩ | ٢ | ٢٠٠٥/١٧ | ct | ٢٥ |
| ٣ | ٣ | ٥ | ESE | ١٠٢٠ | ٠,٣ | ١١ | ٤,٨ | ٨٦/٦ | ct | ٢٦ |
| ٣ | ٢ | ٤ | WSW | ١٠٢٢ | ٣,٢ | ٦,٣ | ٠,٩ | ٨٨/٢٦ | ct | ٢٧ |
| ٣ | ٢ | ١٢ | W | ١٠١٤ | ٨,٣ | ٨,٣ | ٣ | ٢٠٠٠/٢١ | ct | ٢٨ |
| ٣ | ١ | ٨ | SSE | ١٠٢٨ | ٠,٤٣ | ٤,١ | ١ | ٩١/٢٨ | ct | ٢٩ |
| ٣ | ٠ | ٣ | E | ١٠٢٧ | ٢,٦ - | ٤,٢ | ٢,٦ - | ٩٣/٢١ | ct | ٣٠ |

المصدر: نتائج التحليل التجميعي بناءً على القراءات الصادرة من الرئاسة العامة

للأرصاد وحماية البيئة للفترة ١٩٨٥ - ٢٠٠٧ م.

اسم الكتلة الهوائية ورموزها في التحليل التمايزى : cpk = الكتلة القطبية الجافة

(١). mpk = الكتلة الهوائية القطبية الرطبة (٢). ct = الكتلة المدارية الجافة (٣).

جدول رقم (٣) :

عينة نموذجية للكتل الهوائية السائدة شتاءً في محطة عرعر

| رمز الكتلة في التحليل التمايزى | نسبة تفطية السماء | سرعة الرياح كم/س | اتجاه الرياح | الضغط الجوى مليبار | درجة حرارة نقطة الندى م | المعدل اليومي للدرجة الحرارة م | درجة الحرارة الدنيا م | تاريخ اليوم | نوع الكتلة | اليوم |
|--------------------------------------|-------------------------|------------------------|-----------------|--------------------------|----------------------------------|---|-----------------------------|-------------|---------------|-------|
| ١ | ٠,٨ | ٦ | NE | ١٠٢٨ | ٦,٩ | ٢,٦ | ٣ - | ٨٦/٦ | cpk | ١ |
| ١ | ٠,١ | ٣ | W | ١٠٢٨ | ٥ - | ٦,٨ | ٠,٤ | ٨٧/١٤ | cpk | ٢ |
| ١ | ١ | ٥ | NNE | ١٠٢٨ | ٠,٦٤ | ٣,١ | ٢ - | ٨٨/٢٠ | cpk | ٣ |
| ١ | ٠ | ٣ | NW | ١٠٢٧ | ١ - | ١,٣ | ٥ - | ٨٩/٥ | cpk | ٤ |

| رمز الكتلة في التحليل التعاري | نسبة تفطية السماء | سرعة الرياح كم/س | اتجاه الرياح | الضغط الجوي مليبار | درجة حرارة نقطة الندى °م | المعدل اليومي لدرجة الحرارة °م | درجة الحرارة الدنيا °م | تاريخ اليوم | نوع الكتلة | اليوم |
|-------------------------------------|-------------------------|------------------------|-----------------|--------------------------|-----------------------------------|---|------------------------------|-------------|---------------|-------|
| ١ | ٠ | ١ | W | ١٠٣٤ | ٩ - | ١,٦ | ٥ - | ٩٢/٥ | cpk | ٥ |
| ١ | ١,٢ | ٤ | WN | ١٠٢٥ | ٧ - | ٧ | ٢ - | ٩٩/٣ | cpk | ٦ |
| ١ | ٠ | ٤ | W | ١٠٢٥ | ٢ - | ٥,٨ | ١ - | ٢٠٠١/٢٨ | cpk | ٧ |
| ١ | ٠,٦ | ٣ | SE | ١٠٢٣ | ١,٢ - | ١٠,٣ | ٣ | ٨٥/١٠ | cpk | ٨ |
| ٢ | ٧,٩ | ٨ | E | ١٠٢٢ | ٤,٦ | ٣,٣ | ١ | ٨٦/٢٤ | mpk | ٩ |
| ٢ | ٤ | ٥ | WN | ١٠١٥ | ٢,٦ | ٦,٧ | ٤ | ٨٩/١٠ | mpk | ١٠ |
| ٢ | ٨ | ٥ | W | ١٠١٩ | ٢,٢ | ٢ | ٥ | ٩١/١٤ | mpk | ١١ |
| ٢ | ٧,٥ | ٩ | NNE | ١٠١٧ | ٨,٩ | ٧,٨ | ٠ | ٢٠٠٢/١ | mpk | ١٢ |
| ٢ | ٦,٩ | ٦ | ENE | ١٠١٤ | ٠,١ | ١٢,١ | ٨ | ٢٠٠٦/٢٥ | mpk | ١٣ |
| ٢ | ٣ | ٩ | NE | ١٠١٥ | ٧,١ | ٩,٤ | ٤ | ٨٥/٢٨ | mpk | ١٤ |
| ٢ | ٧,٤ | ٧ | ENE | ١٠٢٠ | ٦ - | ٢,٥ | ٢ | ٩٠/١٣ | mpk | ١٥ |
| ٢ | ٧,٨ | ٧ | ENE | ١٠٢٥ | ١,٣ | ٣,١ | ٢ | ٩٢/١ | mpk | ١٦ |
| ٣ | ٠,١ | ٥ | E | ١٠٢١ | ١,٦ | ٧,٩ | ٣ | ٨٥/٢٦ | ct | ١٧ |
| ٣ | ١,٥ | ٤ | NW | ١٠٢٥ | ٤,٤ | ٦,٩ | ٤ | ٨٨/٩ | ct | ١٨ |
| ٣ | ١,١ | ٣ | WS | ١٠٢٤ | ٥,٦ | ١٢,٤ | ٦ | ٩٤/٩ | ct | ١٩ |
| ٣ | ١,١ | ٩ | WN | ١٠٢١ | ١,٢ | ٨ | ٣ | ٢٠٠٠/١ | ct | ٢٠ |
| ٣ | ١,١ | ٥ | W | ١٠١٤ | ١,٥ | ٧,٦ | ٣ | ٢٠٠٢/٦ | ct | ٢١ |
| ٣ | ٢ | ٦ | S | ١٠١٩ | ٥,٥ | ١١,٥ | ٤ | ٢٠٠٥/٤ | ct | ٢٢ |
| ٣ | ٠,٢ | ٦ | W | ١٠٢٨ | ٢ - | ٨,٢ | ٣,٥ | ٢٠٠٧/١٨ | ct | ٢٣ |
| ٣ | ٠ | ٢ | SW | ١٠٢٢ | ٥ - | ٨,٤ | ٢ | ٨٥/٥ | ct | ٢٤ |
| ٣ | ١,٦ | ٤ | W | ١٠١٦ | ١,٦ | ٨,٩ | ٣ | ٩٢/١٥ | ct | ٢٥ |
| ٣ | ٠,٨ | ٢ | W | ١٠٢٠ | ١ - | ٥,٢ | ٠ | ٩٣/٣ | ct | ٢٦ |
| ٣ | ٢,٤ | ٤ | WN | ١٠٢٣ | ٦,٢ | ١٢,١ | ٧ | ٩٤/١٧ | ct | ٢٧ |
| ٣ | ٠ | ٤ | W | ١٠٢٤ | ٢,٤ | ١,٥ | ٥ | ٩٥/٢٤ | ct | ٢٨ |
| ٣ | ٥,٠ | ٨ | W | ١٠١٩ | ٥,٣ | ٩,٧ | ٦ | ٩٦/٦ | ct | ٢٩ |
| ٣ | ٠ | ٦ | E | ١٠٢٢ | ٣,٦ | ١٠,٣ | ٥ | ٩٧/١١ | ct | ٣٠ |

المصدر: نتائج التحليل التجميعي بناءً على بيانات الرئاسة العامة للأرصاد وحماية البيئة

للفترة ١٩٨٥ - ٢٠٠٧ م.

اسم الكتلة الهوائية ورموزها في التحليل التمايزى : cpk = الكتلة القطبية الجافة
 (1) . mpk = الكتلة الهوائية القطبية الرطبة (2) . ct = الكتلة المدارية الجافة (3) .

جدول رقم (٤) :

عينة نموذجية للكتل الهوائية السائدة شتاءً في محطة رفحاء

| رقم الكتلة في التحليل التمايزى | نسبة السماء تفعية | سرعة الرياح كم/س | اتجاه الرياح | الضغط الجوي مليبار | درجة حرارة نقطة التذى °م | المعدل اليومي لدرجة الحرارة °م | درجة الحرارة الدنيا °م | تاريخ اليوم | نوع الكتلة | اليوم |
|--|-------------------------|------------------------|-----------------|--------------------------|--------------------------------------|--|---------------------------------|-------------|---------------|-------|
| ١ | ٤ | ٤ | E | ١٠٢٦ | ٠,٤٧ - | ٧,٦ | ٢ - | ٨٧/١٣ | cpk | ١ |
| ١ | ٠ | ٣ | NE | ١٠٢٨ | ٠,٧ - | ٩,٢ | ١,٥ - | ٨٧/٢٠ | cpk | ٢ |
| ١ | ٠ | ٧ | W | ١٠٢٤ | ٥,٧ - | ٤٠,٧ | ٤ - | ٨٩/٦ | cpk | ٣ |
| ١ | ١ | ١ | NE | ١٠٢٣ | ٥,٧ - | ١٠,٧ | ٤ - | ٩٢/٢٦ | cpk | ٤ |
| ١ | ٤ | ٦ | SE | ١٠٢٣ | ٦,٧ | ٨,٩ | ٤ - | ٩٦/٢٤ | cpk | ٥ |
| ١ | ١ | ٥ | E | ١٠٢٥ | ٣ - | ٦ | ٣ - | ٢٠٠٥/١٤ | cpk | ٦ |
| ١ | ٠ | ٤ | SW | ١٠١٧ | ١,٢ | ١٨ | ٨ - | ٢٠٠٣/٨ | cpk | ٧ |
| ١ | ١ | ٩ | SW | ١٠١٧ | ٢,٨ | ١٢,٩ | ١,٧ - | ٨٦/١٤ | cpk | ٨ |
| ٢ | ٦ | ٩ | NW | ١٠١٤ | ٩,٧ | ١٠,١ | ٨ | ٨٥/٢٩ | mpk | ٩ |
| ٢ | ٠,١ | ٨ | W | ١٠١٣ | ٨,٩ | ١١,٥ | ٧,٥ | ٩٩/٩ | mpk | ١٠ |
| ٢ | ٢ | ٦ | W | ١٠١٤ | ١٠,٨ | ١٠,٨ | ٧,٥ | ٩٩/١٨ | mpk | ١١ |
| ٢ | ٥ | ٧ | N | ١٠١٨ | ٦,٩ | ٨,٢ | ٥ | ٢٠٠١/٧ | mpk | ١٢ |
| ٢ | ٦ | ٨ | S | ١٠١٣ | ١١,٨ | ١٢,٦ | ١٠ | ٢٠٠٤/١٢ | mpk | ١٣ |
| ٢ | ٦ | ٨ | SE | ١٠١٧ | ٨,٢ | ٧,٤ | ٧,٥ | ٩٨/٤ | mpk | ١٤ |
| ٢ | ٨ | ١١ | E | ١٠١٧ | ٨,٤ | ٩,٥ | ٢ | ٩١/١٣ | mpk | ١٥ |
| ٢ | ٥ | ٧ | N | ١٠١٨ | ٦,٩ | ٨,٢ | ٥ | ٢٠٠٦/٧ | mpk | ١٦ |
| ٢ | ٦ | ٩ | E | ١٠٢٥ | ١,٦ - | ٦,٧ | ٢,٥ | ٩٠/١٣ | mpk | ١٧ |
| ٢ | ٧ | ١٠ | SE | ١٠٠٨ | ٩,٥ | ١٥,٣ | ١١,٣ | ٢٠٠٥/٥ | mpk | ١٨ |
| ٣ | ٢ | ٢ | N | ١٠٢٢ | ٣,٤ | ٩,٤ | ٢,٨ | ٨٥/٦ | ct | ١٩ |
| ٣ | ٠ | ١٢ | W | ١٠١٣ | ٣,٩ | ١٢,٢ | ٦ | ٨٧/٦ | ct | ٢٠ |
| ٣ | ٤ | ٨ | S | ١٠١٥ | ٣,٥ | ١,٥ | ٣,٨ | ٩٠/٢٥ | ct | ٢١ |
| ٣ | ١ | ٥ | SE | ١٠١٦ | ٤,٥ | ١٠,٤ | ٤ | ٩٢/١٥ | ct | ٢٢ |

| رمز الكتلة في التحليل التمايزى | نسبة نقطية السماء | سرعة الرياح كم/س | اتجاه الرياح | الضغط الجوي ملليبار | درجة حرارة نقطة الندى °م | المعدل اليومي للدرجة الحرارة °م | درجة الحرارة الدنيا °م | تاريخ اليوم | نوع الكتلة | اليوم |
|--------------------------------|-------------------|------------------|--------------|---------------------|--------------------------|---------------------------------|------------------------|-------------|------------|-------|
| ٣ | ٣ | ٢ | NE | ١٠٢٣ | ٢.١ | ٩.٣ | ١.٢ | ٩٤/٧ | ct | ٢٣ |
| ٣ | ١ | ٤ | W | ١٠١٩ | ٢.٩ | ٨.٨ | ٤ | ٢٠٠٦/١٥ | ct | ٢٤ |
| ٣ | ٠.١ | ٧ | W | ١٠٢٥ | ٠.٨٦ | ٦.٥ | ٢ | ٨٨/١٩ | ct | ٢٥ |
| ٣ | ٢ | ١٠ | W | ١٠١٩ | ٣.٥ | ٩.٣ | ٦ | ٩٠/١٩ | ct | ٢٦ |
| ٣ | ٠.٤ | ١٣ | NW | ١٠٢٢ | ١.٣ | ٨.٤ | ٢.٤ | ٩٧/١٧ | ct | ٢٧ |
| ٣ | ١ | ٨ | SSE | ١٠١٧ | ٣.٢ | ١٠.١ | ٣.٨ | ٩٠/٢٠ | ct | ٢٨ |
| ٣ | ٠ | ٨ | W | ١٠٢٠ | ٢.٨ | ٩ | ٤.٢ | ٢٠٠٦/٢٥ | ct | ٢٩ |
| ٣ | ٠ | ٩ | W | ١٠٢٢ | ١.٦ - | ٩.١ | ٠.٥ | ٢٠٠٥/٢٨ | ct | ٣٠ |

المصدر: نتائج التحليل التجمعي بناءً على بيانات الرئاسة العامة للأرصاد وحماية البيئة

للفترة ١٩٨٥ - ٢٠٠٧ م.

اسم الكتلة الهوائية ورموزها في التحليل التمايزى : cpk = الكتلة القطبية الجافة

(١). mpk = الكتلة الهوائية القطبية الرطبة (٢). ct = الكتلة المدارية الجافة (٣).

جدول رقم (٥) :

عينة نموذجية للكتل الهوائية السائدة شتاءً في محطة القيصومه

| رمز الكتلة في التحليل التمايزى | نسبة نقطية السماء | سرعة الرياح كم/س | اتجاه الرياح | الضغط الجوي ملليبار | درجة حرارة نقطة الندى °م | المعدل اليومي للدرجة الحرارة °م | درجة الحرارة الدنيا °م | تاريخ اليوم | نوع الكتلة | اليوم |
|--------------------------------|-------------------|------------------|--------------|---------------------|--------------------------|---------------------------------|------------------------|-------------|------------|-------|
| ١ | ٠ | ٩ | NW | ١٠٢٨ | ١.٩ - | ٨ | ٢ - | ٨٧/١١ | Cpk | ١ |
| ١ | ٢ | ٥ | NNW | ١٠٢٦ | ٣ - | ٨ | ١.٨ - | ٨٨/١٥ | cpk | ٢ |
| ١ | ٠.١ | ٥ | NW | ١٠٢٦ | ٦.٤ - | ٢ | ٤ - | ٨٩/٥ | cpk | ٣ |
| ١ | ٠ | ٨ | W | ١٠٣٣ | ٩.٤ - | ٣ | ٤ - | ٩٢/٥ | cpk | ٤ |
| ١ | ٣ | ٥ | SE | ١٠٢٠ | ٨.٩ - | ٦ | ٣ - | ٩٢/٢٩ | cpk | ٥ |
| ١ | ٠ | ٥ | SE | ١٠٢٥ | ١.٣ | ٦ | ٠ | ٩٨/١٤ | cpk | ٦ |
| ١ | ١ | ١٠ | WNW | ١٠٢١ | ٢.٢ - | ٩ | ٢ | ٢٠٠٠/٢٩ | cpk | ٧ |
| ١ | ٠ | ٥ | W | ١٠٢٧ | ١.٩ - | ٨ | ١.٤ | ٢٠٠٢/٢٥ | cpk | ٨ |

| رمز الكتلة في التحليل التمايزى | نسبة تفطية السماء | سرعة الرياح كم/س | اتجاه الرياح | الضغط الجوى مليبار | درجة حرارة نقطة الندى م | المعدل اليومي للدرجة الحرارة م | درجة الحرارة الدنيا م | تاريخ اليوم | نوع الكتلة | اليوم |
|--------------------------------------|-------------------------|------------------------|--------------|--------------------------|----------------------------------|---|-----------------------------|-------------|---------------|-------|
| ١ | ٠,١ | ٤ | W | ١٠٢٦ | ٧,٤ - | ٤ | ٣ - | ٢٠٠٧/١ | cpk | ٩ |
| ٢ | ٤ | ١٣ | WNW | ١٠١٤ | ١٠,٣ | ١٣ | ١١,٦ | ٨٥/٢٩ | mpk | ١٠ |
| ٢ | ٧ | ٨ | ESE | ١٠٢٠ | ١٠,٨ | ١١ | ٧,٢ | ٨٦/٢٩ | mpk | ١١ |
| ٢ | ٧ | ٩ | SE | ١٠١٥ | ٨,٥ | ١٣ | ١٠ | ٨٨/٦ | mpk | ١٢ |
| ٢ | ٨ | ٦ | ENE | ١٠٢٢ | ٢,١ | ٨ | ٥ | ٩٠/٢٧ | mpk | ١٣ |
| ٢ | ٨ | ١٧ | ESE | ١٠٠٧ | ١١,٤ | ١٣ | ٤ | ٩٦/١١ | mpk | ١٤ |
| ٢ | ٨ | ١٦ | ESE | ١٠١٩ | ١٠,٩ | ١٢ | ٧,١ | ٩١/١٣ | mpk | ١٥ |
| ٢ | ٨ | ٧ | ENE | ١٠١٧ | ٧,٨ | ١٠ | ٦ | ٢٠٠١/٦ | mpk | ١٦ |
| ٢ | ٦ | ٩ | NNW | ١٠١٨ | ٧,٧ | ١٠ | ٧ | ٢٠٠٣/٢٣ | mpk | ١٧ |
| ٢ | ٨ | ٥ | E | ١٠١٦ | ١٢,٨ | ١٣ | ١١ | ٢٠٠٤/١١ | mpk | ١٨ |
| ٢ | ٥ | ٩ | SE | ١٠١٨ | ٨,٣ | ١٢ | ٨,٤ | ٨٨/١٢ | mpk | ١٩ |
| ٣ | ١ | ٨ | N | ١٠١٨ | ٧,٤ | ١٤ | ٩ | ٨٥/١٧ | ct | ٢٠ |
| ٣ | ٠,٤ | ٢ | NNW | ١٠٢٥ | ١ - | ٨ | ٣ | ٩٣/٢٢ | ct | ٢١ |
| ٣ | ٢ | ٥ | N | ١٠١٨ | ٥,١ | ١٣ | ٦,٢ | ٩٤/٢١ | ct | ٢٢ |
| ٣ | ٢ | ٥ | NNE | ١٠٢٢ | ٢,٨ | ١٣ | ٧,٨ | ٨٥/٢٣ | ct | ٢٣ |
| ٣ | ٣ | ٤ | E | ١٠٢٢ | ١,٨ | ١٢ | ٥,٩ | ٨٨/٣٠ | ct | ٢٤ |
| ٣ | ٠ | ٦ | W | ١٠١٩ | ٤,٨ | ١٤ | ٨ | ٩٠/٥ | ct | ٢٥ |
| ٣ | ٣ | ٤ | WNE | ١٠٢٥ | ١,٧ | ٦ | ٢,٦ | ٩٣/٢٠ | ct | ٢٦ |
| ٣ | ٠ | ٢ | W | ١٠٢١ | ٦,٨ | ١٢ | ٥,٢ | ٢٠٠١/٢١ | ct | ٢٧ |
| ٣ | ١ | ٥ | NW | ١٠١٩ | ١,٤ | ١١ | ٦,٦ | ٢٠٠٤/٢٠ | ct | ٢٨ |
| ٣ | ١ | ٦ | E | ١٠٢٢ | ٤,١ | ١٢ | ٤,٤ | ٢٠٠٦/٤ | ct | ٢٩ |

المصدر: نتائج التحليل التجميعي بناءً على بيانات الرئاسة

العامة للأرصاد وحماية البيئة للفترة ١٩٨٥ - ٢٠٠٧ م.

اسم الكتلة الهوائية ورموزها في التحليل التمايزى : cpk = الكتلة القطبية الجافة

(١). mpk = الكتلة الهوائية القطبية الرطبة (٢). ct = الكتلة المدارية الجافة (٣).

جدول رقم (٦) :

نتائج التحليل التمايزي بين الكتل الهوائية في محطات الدراسة

| اسم المحطة | المتغيرات المستعملة | أهمية المتغيرات المستعملة | مؤشر | مربع كاي | المعنوية | دالة التصنيف |
|------------|-----------------------|---------------------------|------|----------|----------|--------------|
| عرعر | تغطية السماء | ٠,٨٧ | ٠,٤٧ | ١٩,٢ | ١,٧٢ | ٠,٠٠٩ |
| | درجة الحرارة الدنيا م | ٠,٢٩ | | | | |
| | درجة حرارة نقطه الندى | ٠,٢٧ | | | | |
| | سرعة الرياح عقدة | ٠,٣٥ | | | | |
| | الضغط الجوي مليبار | ٠,٤٠ | | | | |
| طريف | تغطية السماء | ٠,٧٦ | ٠,٤٨ | ٧٥,٦ | ٣,٧٥ | ٠,٠٠٣٢ |
| | درجة الحرارة م | ٠,٣٥ | | | | |
| | درجة نقطه الندى | ٠,٤٤ | | | | |
| | سرعة الرياح | ٠,١١ | | | | |
| | الضغط الجوي | ٠,٠٠٨ | | | | |
| رفحاء | تغطية السماء | ٠,٥٩ | ٠,١٩ | ٣٨,٨ | ٢,١٤ | ٠ |
| | درجة الحرارة الدنيا | ٠,٥٧ | | | | |
| | درجة حرارة نقطه الندى | ٠,٦٤ | | | | |
| | سرعة الرياح | ٠,٢٩ | | | | |
| | الضغط الجوي | ٠,٤٤ | | | | |
| القيصومة | درجة الحرارة الدنيا | ٠,٩١ | ٠,٦٧ | ٧,٧ | ٠,٨٧ | ٠,٥٧ |
| | درجة حرارة نقطه الندى | ٠,٥٤ | | | | |
| | تغطية السماء | - | ٠,٤٤ | | | |

المصدر: نتائج البيانات الواردة في الجداول (٢ ، ٣ ، ٤ ، ٥).

لتحديد أوجه الاختلاف بين السمة المناخية العامة شتاءً للمنطقة الشمالية ومدى تأثيرها بالكتل الهوائية الهابطة عليها، قورنت الخصائص المناخية لمحطات المنطقة الشمالية بالخصائص المناخية للكتل الهوائية الهابطة على المنطقة.

ويوضح الجدول رقم (٧) معدلات القراءات المناخية لمحطات منطقة الشمالية، وتمثل المعدل الشهري لدرجة الحرارة م، المعدل الشهري لدرجة الحرارة العظمى م،

المعدل الشهري لدرجة الحرارة الدنيا °، المعدل الشهري للرطوبة النسبية٪، المعدل الشهري للرطوبة النسبية العظمى٪، المعدل الشهري للرطوبة النسبية الدنيا٪، المعدل الشهري لدرجة حرارة نقط الندى °.

جدول رقم (٧) :

معدلات القراءات المناخية في محطات الدراسة للفترة ١٩٨٥ - ٢٠٠٧ م

| اسم المحطة | معدل درجة الحرارة ° | معدل الرطوبة النسبية % | معدل الرطوبة النسبية % | معدل الرطوبة النسبية % | معدل درجة حرارة نقط الندى ° | معدل درجة حرارة نقط الندى ° |
|------------|---------------------|---------------------|---------------------|---------------------|------------------------|------------------------|------------------------|-----------------------------|-----------------------------|
| طريف | ٧,٢٧ | ١٣,٣ | ١,٦٧ | ٦٦,٣ | ٨٨,٦ | ٤٢,٤ | ٠,٦٧ | ٣١,٨ | ٠,٤٢ |
| عرعر | ٨,٧٧ | ١٥,٥ | ٣,٣ | ٦٤ | ٨٤ | ٤١ | ١,٥ | ٣٦,٣ | ٣٧ |
| رفحاء | ١٠,١ | ١٦,٦٩ | ٤,٣ | ٦٥,٦ | ٨٥,٦ | ٤٤,٧ | ٣,٣٤ | ٣٠,٥ | ٣٠,٥ |
| القيصومة | ١١,٥٢ | ١٧,٧ | ٦,١ | ٥٩,١ | ٨٠,٤ | ٣٧ | ٢,٧٨ | ٢٠,٥ | ٢٠,٥ |
| المجوف | ٩,٥٩ | ١٥,٥٨ | ٣,٨٩ | ٥٨,٢ | ٨٠,٩ | ٣٦,٣ | ٠,٨٧ | ٧٨,٥ | ٧٨,٥ |
| تبوك | ١٠,٨ | ١٨,١ | ٤,٢ | ٥١,٦ | ٧٥,٥ | ٣٠,٥ | ٠,٣٩ | ٣١,٨ | ٣١,٨ |
| حائل | ١٠,٣ | ١٧,١ | ٣,٨ | ٣,٨ | ٣,٨ | ٣١,٨ | ٠,٤٢ | ٣٦,٣ | ٣٧ |

المصدر: القراءات اليومية الصادرة عن الرئاسة العامة للأرصاد وحماية البيئة للفترة ١٩٨٥ - ٢٠٠٧ م.

أفرزت نتائج التحليل التجسيمي قراءات مناخية تمثل خصائص الكتلة المدارية

الجافة CT، والكتلة القطبية الرطبة MPK، والكتلة القطبية الجافة CPK. ويوضح

الجدول رقم (٨) خصائص الكتلة السائدة في محطات المنطقة الشمالية: وتمثلها

القراءات الآتية :

المعدل اليومي لدرجة الحرارة °، درجة الحرارة العظمى °، درجة الحرارة الدنيا °،

المعدل اليومي للرطوبة النسبية٪، الرطوبة النسبية العظمى٪، الرطوبة النسبية الدنيا٪،

درجة حرارة نقطة الندى °، سرعة الرياح كم/ساعة، قراءة الضغط الجوي عند

مستوى سطح البحر، تغطية السماء بالسحب٪.

جدول رقم (٨) :

الخصائص المناخية لكتل الهوائية في محطات الدراسة

| نقطة الدراسة | معدل الفضفاض الجوي عن مستوى سطح البحر مليبار | سرعة الرياح عقدة/يوم | درجة حرارة نقطه الندى | الرطوبة النسبية الدنيا /% | الرطوبة النسبية العظمى | معدل الرطوبة النسبية /% | درجة حرارة الذئام | درجة الحرارة العظمى ° | المعدل اليومي للبرودة ° | نوع الكتلة الهوائية | اسم المحطة |
|--------------|--|----------------------|-----------------------|---------------------------|------------------------|-------------------------|-------------------|-----------------------|-------------------------|---------------------|------------|
| ٢.١ | ١٠٢٠ | ٦ | ١.٩ | ٣٩ | ٨٨ | ٦٥ | ٣ | ١٥.٧ | ٨.٨ | ct | عرعر |
| ٤ | ١٠١٨ | ٧ | ٥.٨ | ٦٤ | ٩٧ | ٨٤ | ٤ | ١٣.٧ | ٨.٥ | mp | |
| ١.٧ | ١٠٢١ | ٥ | ٢.٩٢ - | ٢٦ | ٦٦ | ٤٦ | ٢ | ١٦.٦ | ٨.٩ | cp | |
| ٣ | ١٠٢٠ | ٨ | ٠.١٣ | ٣٧ | ٨٩ | ٦٣ | ١.٢ | ١٣.٥ | ٧.٢ | ct | |
| ٣ | ١٠١٨ | ٨ | ٣.٥ | ٥٨ | ٩٧ | ٨٠ | ٢.٥ | ١١.٨ | ٦.٩ | mp | طريف |
| ١ | ١٠١٨ | ٧ | ٣.٧ - | ٢٥ | ٦٩ | ٤٦ | ١.٢ | ١٥.٩ | ٨.٢ | cp | |
| ١٠ | ١٠٢٠ | ٢ | ٣.٣ | ٤٣ | ٨٨ | ٦٦ | ٣.٨ | ١٦.٥ | ٩.٨ | ct | |
| ٣ | ١٠١٩ | ٧ | ٧.٣ | ٦٦ | ٩٦ | ٨٣ | ٦ | ١٤.٩ | ١٠ | mp | |
| ٢ | ١٠١٩ | ٧ | ٠.١٢ | ٣١ | ٧٣ | ٥٠ | ٣.٨ | ١٨.٥ | ١٠.٧ | cp | رفاء |
| ٢ | ١٠١٩ | ٦ | ٣.٦ | ٣٦ | ٨٧ | ٦٢ | ٦ | ١٧.٦ | ١١ | ct | |
| ٤ | ١٠١٧ | ٨ | ٨.٣ | ٦٧ | ٩٥ | ٨٤ | ٧.٧ | ١٥.٢ | ١١ | mp | |
| ٢ | ١٠٢٠ | ٧ | ١.٦ - | ٢٤ | ٦٣ | ٤٢ | ٥.٤ | ١٩.٣ | ١٢ | cp | |
| ٢ | ١٠٢٠ | ٧ | ٠.٩١ | ٣٤ | ٨٤ | ٥٨ | ٣ | ١٥.٤ | ٩.٣ | ct | القيصومة |
| ٤ | ١٠١٨ | ٧ | ٤.٧ | ٥٦ | ٩٣ | ٧٧ | ٥ | ١٣.٤ | ٨.٨ | mp | |
| ٢ | ١٠٢٠ | ٧ | ٣.١ - | ٢٢ | ٦١ | ٣٩ | ٤ | ١٨.٣ | ١١.١ | cp | |
| ٢ | ١٠١٩ | ٥ | ٠.٤٦ | ٢٩ | ٧٦ | ٥١ | ٤.١ | ١٨ | ١٠.٩ | ct | |
| ٢ | ١٠١٩ | ٤ | ٣ | ٤٢ | ٨٨ | ٦٤ | ٤.٢ | ١٦ | ٩.٩ | mp | تبوك |
| ٢ | ١٠١٨ | ٤ | ٣.٤ - | ١٨ | ٥٧ | ٣٦ | ٤.٣ | ٢١ | ١٢.١ | cp | |
| ١.٥ | ١٠١٨ | ٦ | ٠.٩٩ | ٣٢ | ٨٥ | ٥٧ | ٣.٤ | ١٦.٤ | ١٠ | ct | |
| ٤ | ١٠١٧ | ٦ | ٥.٦ | ٥٦ | ٩٤ | ٧٦ | ٥.٨ | ١٤٣٤ | ١٠ | mp | |
| ١.٣ | ١٠١٨ | ٧ | ٢.٢٥ - | ٢١ | ٦٤ | ٤١ | ٤ | ١٩.٧ | ١٢ | cp | حائل |

المصدر: نتائج التحليل التجمعي بناءً على القراءات الصادرة عن الرئاسة العامة للأرصاد وحماية البيئة

للفترة ١٩٨٥ - ٢٠٠٧ م.

وقد أفرزت مقارنة البيانات مع خصائص كل كتلة باستخدام معامل التباين اختبارات، وذلك بالمقارنة الإحصائية بين الخصائص العامة مثلة السمة المناخية العامة للمكان، وبين خصائص كل كتلة هوائية. وتوضح النتائج في الجدول رقم (٩)، الذي يظهر تطابقاً واضحاً بين خصائص الكتلة المدارية الجافة وبين الخصائص المناخية العامة، حيث تسود الكتلة المدارية في مناطق إقليم المصدر لها. وتظهر اختلافاً واضحاً بين السمة المناخية العامة وخصائص كل من الكتلة القطبية الطربة والكتلة القطبية الجافة. وذلك من خلال قراءات:

جدول رقم (٩) :

نتائج تحليل اختبار تباين الخصائص المناخية العامة وخصائص الكتلة هوائية في محطات الدراسة

| العنوية | اختبارات | الخطأ المعياري | الانحراف المعياري | متوسط الفرق بين المتغيرات | الكتلة هوائية | اسم المحطة |
|---------|----------|----------------|-------------------|---------------------------|---------------|------------|
| ٠,٤٢ | ٠,٨٣ | ٠,٤٨ | ١,٥ | ٠,٤ | ct | عرعر |
| ٠,٠٦٧ | ٢,٠٨ | ٢,٩ | ٩,١٨ | ٦,٠٤ | mp | |
| ٠,٠٦٠ | ٢,١٤ - | ٢,٥ | ٨,١ | ٥,٥ - | cp | |
| ٠,٤٥ | ٠,٧٨ - | ٠,٦٤ | ٢,٠٣ | ٠,٥ - | ct | |
| ٠,٠٧٠ | ٢,٠٥ | ٢,٠٣ | ٦,٤ | ٤,١ | mp | طريف |
| ٠,٦١ | ٢,١٤ - | ٢,٨ | ٨,٩ | ٦,٠٤ | cp | |
| ٠,٦١ | ٠,٥١ | ١,٠٤ | ٣,٣ | ٠,٥٤ | ct | |
| ٠,٠٧٠ | ٢,٠٥ | ٢,٦ | ٨,٤٨ | ٥,٥ | mp | رفحاء |
| ٠,٠٧١ | ٢,٠٤ - | ٢,٠٤ | ٦,٤٦ | ٤,١ - | cp | |
| ٠,٣٠ | ١,٠٨ | ٠,٧٧ | ٢,٤ | ٠,٨٤ | ct | |
| ٠,٠٧٢ | ٢,٠٣ | ٣,٦ | ١١,٦ | ٧,٥ | mp | القيصومة |
| ٠,٠٧٦ | ٢ - | ٢,٤ | ٧,٦ | ٤,٨ - | cp | |
| ٠,٨٦ | ٠,١٨ | ٠,٤٧ | ١,٥ | ٠,٠٧٨ | ct | |
| ٠,٠٧٧ | ١,٩٩ | ٢,٧ | ٨,٥ | ٥,٤ | mp | |
| ٠,٩٤ | ١,٨ | ٢,٧ | ٨,٦ | ٥,١ - | cp | الجوف |

| العنوية | اختبارات | الخطأ المعياري | الانحراف المعياري | متوسط الفرق بين المتغيرات | الكتلة الهوائية | اسم المحطة |
|---------|----------|----------------|-------------------|---------------------------|-----------------|------------|
| ٠,٣٤ | ٠,٩٩ | ٠,١٩ | ٠,٦ | ٠,١٩ | ct | تبوك |
| ٠,٠٨١ | ١,٩ | ١,٩ | ٦,٢ | ٣,٨ | mp | |
| ٠,٠٩٧ | ١,٨٥ - | ٢,٤ | ٧,٥ | ٤,٤ - | cp | |
| ٠,٦٨ | ٠,٤٢ | ٠,٩٥ | ٣,٠٢ | ٠,٤ | ct | |
| ٠,٠٧٦ | ٢ - | ٢,١ | ٦,٤ | ٤,٠٤ - | cp | حائل |
| ٠,٠٩٠ | ١,٩ | ٣,٢٨ | ١٠,٣ | ٦,٢ | mp | |

المصدر: نتائج الاختبار الإحصائي بناءً على نتائج التحليل التجميعي لبيانات الدراسة للفترة من ١٩٨٥ - ٢٠٠٧ م.

اتجاه التغير في تردد الكتلة القطبية الجافة:

تم حصر عدد الأيام التي تسود فيها الكتلة القطبية الجافة باستخدام أحد مخرجات التحليل التجميعي Membership ، وهو السجل التفصيلي ، الذي يحدد المجموعات الدالة على تصنيف الكتل الهوائية ، ومراجعة السجل المناخي اليومي لكل محطة تم حصر عدد الأيام التي تسود فيها الكتلة القطبية الجافة بناءً على الخصائص الواردة في جدول خصائص الكتل (Stahler, 1995).

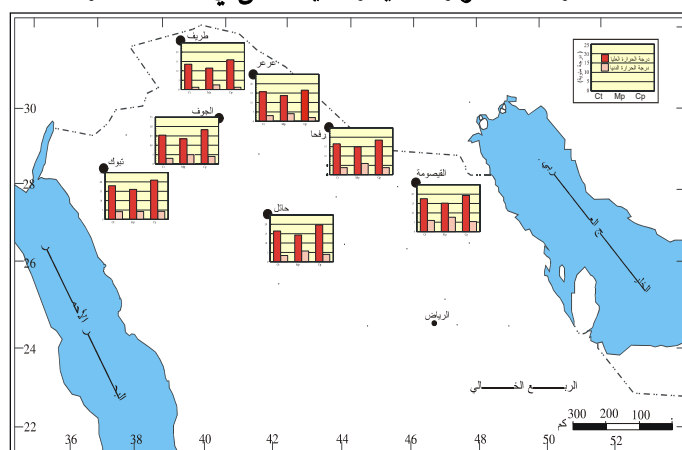
وتوضح الجداول (١٠، ١١، ١٢، ١٣) الخصائص المناخية المصاحبة للكتلة القطبية الجافة ، وذلك حسب تاريخ سيادتها ، حيث يعتمد اليوم الأوسط ، وهو اليوم الذي تنخفض فيه درجة الحرارة الدنيا إلى أدنى مستوياتها والقراءات المناخية المصاحبة ، وهي : معدل درجة الحرارة ، ودرجة حرارة نقطه الندى ، ومؤشر الضغط الجوي ، ونسبة تغيم السماء ، وسرعة اتجاه الرياح ، وعدد أيام دوام الكتلة .

وعند دراسة القراءات المناخية في الجداول السابقة يُلاحظ أنها متماثلة في كل المطارات، وممثلة لخصائص الكتل القطبية الجافة من حيث تدني درجات الحرارة لليلية والنهرارية، وارتفاع القراءات البارومترية، وتدني في درجة حرارة نقطة الندى، مما يدل على جفاف الكتلة، والانخفاض صفاء السماء، مما يعزز خصائص الكتلة القطبية الجافة .cpk.

ولدراسة اتجاه التغير في سيادة الكتلة القطبية تمت دراسة العلاقة الارتباطية بين تردد عدد أيام الكتلة القطبية الجافة كمتغير معتمد (تابع)، وسنوات الدراسة كمتغير مستقل. وتوضح الأشكال التوضيحية (٨، ٩، ١٠، ١١) اتجاه التغير، وهو يميل إلى تناظر واضح في تكرار عدد أيام سيادة الكتلة القطبية في كل من طريق وعرعر والقيصومة ورفحاء.

شكل رقم (٥):

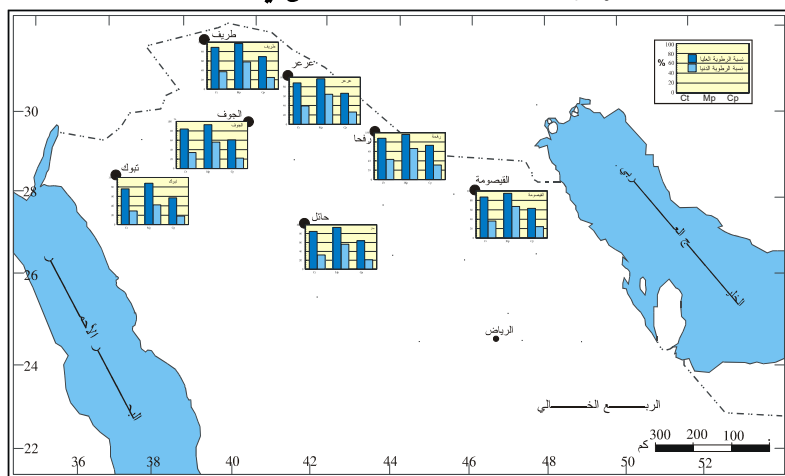
معدل درجات الحرارة الدنيا والعلياً للكتل في محطات الدراسة



المصدر: من إعداد الباحثة بناءً على بيانات الجدول رقم (٧).

شكل رقم (٦) :

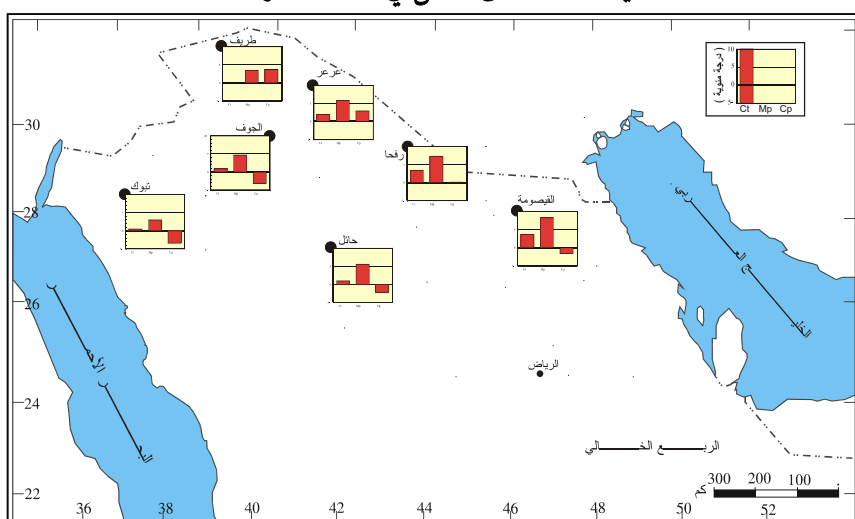
معدل الرطوبة النسبية الدنيا والعلياً للكتل في محطات الدراسة



المصدر : من إعداد الباحثة بناءً على بيانات الجدول رقم (٧).

شكل رقم (٧) :

قيمة نقطة الندى للكتل في محطات الدراسة



المصدر : من إعداد الباحثة بناءً على بيانات الجدول رقم (٧).

ولدراسة أهمية المتغيرات المناخية في تفسير اتجاه التغير، قمت دراسة العلاقة الارتباطية بين سيادة الكتلة القطبية الجافة، التي تمثلها عدد أيام تكرارها وبين المتغيرات المناخية المصاحبة لسيادة الكتلة، وكانت نتيجة الدراسة ما يلي : أوضحت العلاقة وجود علاقة ارتباطية موجبة قوية ٦٨٤٪، وقيمة معامل الاختلاف ٧١.٥٪، مما يدل على أن حوالي ٧٢٪ من قيم الاختلاف في تكرارات الكتلة القطبية الجافة تفسر بالاختلاف في المتغيرات المناخية، وأن ٢٨٪ من هذه الاختلافات عشوائية، كما أن قيمة ف تساوي ٤.٧، وهي تمثل دلالة إحصائية ٠٠٠٨؛ ويبين الجدول رقم (١٠) خصائص الكتلة القطبية الجافة، ويبين الشكل رقم (٨) اتجاه التغير في سيادة الكتلة القطبية في طريف، كما يبين الشكل رقم (٩) تطور سيادة الكتلة القطبية الجافة للفترة من ١٩٨٥ - ٢٠٠٧ في محطة طريف.

أما عن محطة عرعر فقد أفرزت العلاقة الارتباطية علاقة موجبة (٩٠٪)، كذلك فإن معامل الاختلاف ٨١.٥٪ وقيمة ف: ٠.٠٩ وهي ذات دلالة إحصائية. وتدل النتائج على أنه يمكن تفسير الاختلاف في عدد الكتل السائدة في عرعر، حيث تفسره المتغيرات المناخية بنسبة ٨٢٪، وأن ١٨٪ من التفسير مردود إلى الاختلافات العشوائية.

ويوضح الجدول رقم (١١)، والأشكال رقم (١٠ - ١١) الخصائص المناخية القطبية الجافة، واتجاه التغير والتطور الزمني لعدد أيام تكرارات الكتلة القطبية باستخدام السلسلة الزمنية.

جدول رقم (١٠) :

الخصائص المناخية الشتوية للكتلة القطبية الجافة في محطة طريف

| درجة الحرارة الدنيا ° | معدل درجة الحرارة | درجة حرارة نقطه التندى ° | الضغط الجوي مليبار | سرعة الرياح كم/س | اتجاه الرياح | نقطية السماء % | تاريخ اليوم |
|-----------------------|-------------------|--------------------------|--------------------|------------------|--------------|----------------|-------------|
| ٠,٢ - | ٥,٩ | ١,٧ - | ١٠٢٤ | ٤ | WSW | ٠ | ٨٥/٣٠ |
| ٤,٢ - | ١,٦ | ٤,٧ - | ١٠٣٠ | ٨ | E | ٠,١ | ٨٦/٢٣ |
| ٢,٩ - | ٥,١ | ٧,٤ - | ١٠٢٩ | ٥ | SSW | ٠ | ٨٧//٢٨ |
| ١,٩ - | ٣,٨ | ٠,١ - | ١٠٢٨ | ١ | E | ١ | ٨٨/١٩ |
| ٨ - | ٠,٣ - | ٧ - | ١٠٣٠ | ٩ | N | ١ | ٨٩/٤ |
| ٥ - | ١,٢ | ٦,٧ - | ١٠٣١ | ٤ | S | ١ | ٩٠/٢٣ |
| ٣,٨ - | ١,٧ | ٣,٥ - | ١٠٢٩ | ٢ | W | ١ | ٩١/٢٧ |
| ٨ - | ٠,٩ - | ١ - | ١٠٢٥ | ٦ | E | ١ | ٩٢/٢٥ |
| ٥,٦ - | ٠,٨ | ٩,٨ - | ١٠٢٦ | ٢ | NE | ٠ | ٩٣/١٧ |
| ٠,٥ - | ٥,١ | ٤,٧ - | ١٠٢٥ | ٤ | WNW | ٣ | ٩٥/٢٢ |
| ٣ - | ٤,٥ | ٢,١ - | ١٠٢٠ | ٧ | ENE | ١ | ٩٦/١١ |
| ١,٤ - | ٣ | ٣,٥ - | ١٠١٧ | ٧ | E | ٤ | ٩٧/٢٥ |
| ٤,١ - | ٢,٥ | ٣,٥ - | ١٠٢٣ | ٦ | ENE | ٠,٤ | ٩٨/١٠ |
| ٣ - | ٤,٣ | ٢,٥ - | ١٠٢٣ | ٣ | ESE | ٠ | ٩٩/٢١ |
| ٤ - | ٢,٤ | ٥,٦ - | ١٠٢٠ | ٤ | ESE | ٠ | ٢٠٠٠/٨ |
| ٢ - | ٥,٧ | ٤,٤ - | ١٠٢٤ | ٤ | S | ٠,٢ | ٢٠٠١/٢٧ |
| ٣ - | ٤,٢ | ٢ - | ١٠٢٣ | ٨ | SE | ٠,٢ | ٢٠٠٢/٢٠ |
| ٢ - | ٤,٥ | ٢,٢ - | ١٠٢٠ | ٤ | NE | ٣ | ٢٠٠٣/١٩ |
| ٣ - | ٣,٢ | ٦ - | ١٠٢٤ | ٧ | E | ٠,٣ | ٢٠٠٥/٨ |
| ٤ - | ٥,٩ | ٢ - | ١٠٢٩ | ٦ | W | ٠,٥ | ٢٠٠٦/٢٧ |
| ٣ - | ٣,٤ | ٠,٢ - | ١٠٢٥ | ٤ | E | ٣ | ٢٠٠٧/٩ |

المصدر: نتائج التحليل التجميعي لقياسات الرئاسة العامة للأرصاد وحماية البيئة للفترة

١٩٨٥ - ٢٠٠٧ م

جدول رقم (١١) :

الخصائص المناخية الشتوية للكتلة القطبية الجافة في محطة عرعر

| درجة الحرارة الدنيا | معدل درجة الحرارة | درجة حرارة نقطة التندى م | الضغط الجوي مليبار | سرعة الرياح كم/س | اتجاه الرياح | نقطية السماء % | التاريخ اليوم |
|---------------------|-------------------|--------------------------|--------------------|------------------|--------------|----------------|---------------|
| ٣ - | ٤,٧ | ٦,٦ - | ١٠٢٨ | ٣ | S | ٠,٨ | ٨٦/٢١ |
| ١ - | ٦٠٨ | ٥,٣ - | ١٠٢٩ | ٢ | ESE | ٠ | ٨٧/١٢ |
| ٥ - | ٣,١ | ١٠,٢٥ | ١٠٢٧ | ٣ | NW | ١,٣ | ٨٨/١٩ |
| ٣ - | ٣,٣ | ٦,٣ - | ١٠٢٥ | ٥ | E | ٠,١ | ٨٩/١٥ |
| ٣ - | ٤,٦ | ١٠,٣ | ١٠٢٩ | ٣ | WNW | ٠ | ٨٩/٩ |
| ٢ - | ٣,٨ | ٨,٢ - | ١٠٢٨ | ٤ | ESE | ٢,٣ | ٩٠/٢٨ |
| ٦ - | ١,٨ | ١٠,٣ - | ١٠٣٥ | ٦ | NW | ٠ | ٩١/٢٦ |
| ٣ - | ٢,٧ | ٩,٨ - | ١٠٢٧ | ٣ | W | ٠,٣ | ٩٣/١٧ |
| ١ - | ١,٥ | ٨,٩ - | ١٠٢٢ | ٢ | WNW | ١,٧ | ٩٧/٢٧ |
| ٢ - | ٦ | ١,٩ - | ١٠٢٦ | ٤ | W | ٢,٣ | ٩٨/١٤ |
| ٢ - | ٧ | ٥,٣ - | ١٠٢٥ | ٤ | WNW | ٠,١ | ٩٩/٣٠ |
| ٣ - | ٥,٦ | ٢,٧ - | ١٠٢٢ | ٥ | ESE | ٠,٣ | ٢٠٠٠/١٥ |
| ١ - | ٦,٥ | ٢,١ - | ١٠٢٥ | ٦ | SSE | ٠,٣ | ٢٠٠١/٢٨ |
| ٢ - | ٤,٦ | ٢,٢ - | ١٠٢٨ | ٤ | E | ١ | ٢٠٠٢/٢٤ |
| ٢ - | ٥ | ٣,٨ - | ١٠٢٦ | ٣ | W | ٠,٥ | ٢٠٠٥/١٢ |
| ٣ - | ٥ | ٢,٥ - | ١٠٣١ | ٩ | NNW | ٠,٦ | ٢٠٠٦/٣٠ |
| ١ - | ٤,٨ | ٢,٥ | ١٠٢٧ | ٥ | E | ٠,٣ | ٢٠٠٧/١١ |

المصدر: نتائج التحليل التجميعي لقياسات الرئاسة العامة للأرصاد وحماية البيئة للفترة

١٩٨٥ - ٢٠٠٧ م

جدول رقم (١٢) :

الخصائص المناخية الشتوية للكتلة القطبية الجافة في محطة عرعر

| التاريخ اليوم | % تغطية السماء | اتجاه الرياح | سرعة الرياح كم/س | الضغط الجوي ملليبار | نقطة التندى °م | درجة حرارة الماء درجة الحرارة °م | معدل درجة الحرارة °م | درجة الحرارة الدنيا °م |
|---------------|----------------|--------------|------------------|---------------------|----------------|----------------------------------|----------------------|------------------------|
| ٨٦/١٤ | ٠ | SSE | ٩ | ١٠٢٦ | ٠,٧ - | ٨,٩ | ٢,٢ - | |
| ٨٧/١٣ | ٠ | ENE | ٤ | ١٠٢٩ | ٠,٤ - | ٦,٧ | ٢ - | |
| ٨٩/١٦ | ٠ | W | ٨ | ١٠٢٨ | ٦ - | ٣,٥ | ٤ - | |
| ٩٠/٢٦ | ٢ | E | ٦ | ١٠٢٩ | ٦,٣ - | ٤,٢ | ٣,٤ - | |
| ٩٢/٢٦ | ٠ | NE | ١ | ١٠٢٤ | ٨٠٥ - | ١,٢ - | ٥,٦ - | |
| ١٦٩٣ | ٠ | NW | ٩ | ١ | ٨,١ - | ٢,٩ | ٤,٧ - | |
| ٩٦/١٤ | ١ | NNE | ٣ | ١٠٢٠ | ١,٥ | ٧ | ١,٢ | |
| ٩٧/٢٩ | ٠,٢ | SSE | ٥ | ١٠٢١ | ٢,٨ - | ٧,٦ | ١,١ | |
| ٢٠٠١/٢٨ | ٠ | NNE | ٢ | ١٠٢٧ | ٢,٨ | ٦ | ١ - | |
| ٢٠٠٢/٢٥ | ٠ | NNE | ٢ | ١٠٢٨ | ٢,١ - | ٩ | ٣,٥ - | |
| ٢٠٠٥/١٥ | ٠ | SE | ٥ | ١٠٢٥ | ٢,٥ - | ٥,٣ | ٣ - | |
| ٢٠٠٧/٣ | ٠ | W | ٤ | ١٠٣١ | ٢,٧ - | ٢,٣ | ٣,٩ - | |

المصدر: نتائج التحليل التجمعي لقياسات الرئاسة العامة للأرصاد وحماية البيئة للفترة ١٩٨٥ - ٢٠٠٧ م

أما الشكل رقم (١٢) فيوضح التطور الزمني لسيطرة الكتلة القطبية الجافة في رفقاء، والشكل رقم (١٣) يوضح اتجاه التغير العام للكتلة، الذي يوضح تناقصاً في تطور هذه الكتلة، وقد أبدت العلاقة الارتباطية ٩٥٪ علاقة سالبة قوية، وأوضحت منه معامل الاختلاف ٩١٪، مما يدل على أن عدد الكتل الهوائية تفسره المتغيرات المناخية بنسبة ٩١٪، ويعود ١١٪ فقط إلى اختلافات العشوائية، كما تقرر النتائج قيمة F وتساوي ١١.٨ عند مستوى دلالة إحصائي .٠٠٥

كما يوضح الشكل رقم (١٤) خط الاتجاه العام لسيطرة الكتلة القطبية الجافة في القصومة، والشكل رقم (١٥) تطور سيادة الكتلة القطبية في القصومة أيضاً باستخدام السلسلة الزمنية. للفترة من ١٩٨٥ - ٢٠٠٧ م، وأظهرت العلاقة الارتباطية بين العناصر المناخية الواردة في الجدول رقم (١٣)، وعدد أيام سيادة الكتلة علاقة ارتباطية قوية سالبة

٩٣ %، وتدل قيمة معامل اختلاف أن ٨٧ % تفسرها العوامل المناخية، و ١٣ % تعود فقط للاختلافات العشوائية.

تعتبر السجلات المناخية لمنطقة الدراسة قصيرة المدى نسبياً نسبة للدراسات المناخية المتعلقة بالسجلات الحرارية العالمية، إلا أن دراسة العلاقات الارتباطية بين سيادة الكتلة القطبية الجافة وبين العناصر المناخية في محطات الدراسة، وحسب تحليل السجلات الحرارية والتحليل السيينيويكي لعناصر المناخ العليا، أوضح أن هناك تناقصاً في سيادة الكتلة الجافة . كما يبدو أن هناك تناقصاً في تعمق التيارات الباردة المرتبطة بعمق الضغط المرتفع السسيبيري والأوروبي ، إلا أنه لا يمكن الجزم بوجود ارتباط وثيق بين تناقص الكتلة القطبية الجافة والدفء العالمي ، وعلى الأرجح يمثل الاتجاه الحراري العام ضمن دورات مناخية قصيرة المدى (Short Term Cycles).

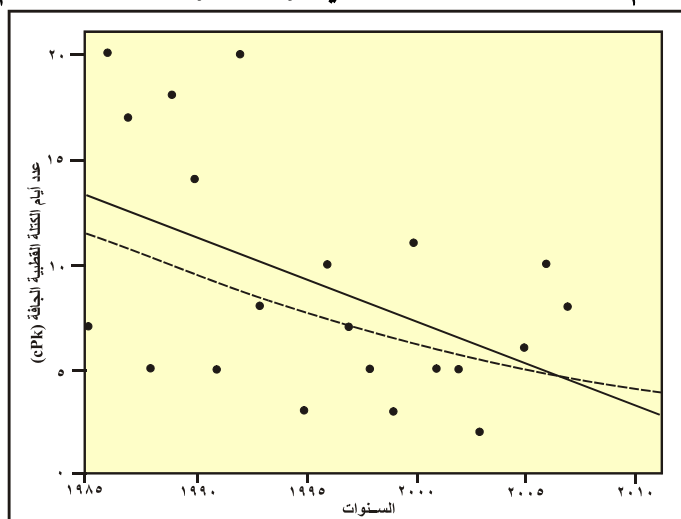
جدول رقم (١٣) : الخصائص المناخية الشتوية للكتلة القطبية الجافة في محطة القيصومة

| درجة الحرارة الدنيا م | معدل درجة الحرارة | درجة حرارة نقطة التندى م | الضغط الجوي مليبار | سرعة الرياح كم/س | اتجاه الرياح | تغطية السماء % | اليوم |
|--------------------------|----------------------|-----------------------------|--------------------------|------------------------|-----------------|----------------------|---------|
| ٠,١ - | ٦ | ٥,٣ - | ١٠٢٦ | ٥ | WNW | ٠ | ٨٦/٢٢ |
| ٠,٦ - | ٨ | ٣,٥ - | ١٠٢٧ | ٥ | NW | ٠,١ | ٨٧/١٣ |
| ٤ - | ٢ | ٦,٤ - | ١٠٢٦ | ٥ | NW | ٠,١ | ٨٩/٥ |
| ٤ - | ٣ | ٩,٤ - | ١٠٣٣ | ٨ | W | ٠ | ٩٢/٥ |
| ١,٣ - | ٦ | ٦,٧ - | ١٠٢٥ | ٤ | NW | ١ | ٩٣/١٨ |
| ٠ | ٧ | ١,٥ - | ١٠٢٥ | ٣ | WNW | ٠ | ٩٨/١٤ |
| ١ | ١ - | ٦,٧ - | ١٠٢٠ | ٥ | WNW | ١ | ٩٩/٤ |
| ٠ | ٩ | ٠,٢ | ١٠٢٣ | ٢ | NNW | ٠ | ٢٠٠١/٣٠ |
| ١,٤ | ٨ | ١,٩ - | ١٠٢٧ | ٥ | W | ٠ | ٢٠٠٢/٥ |
| ١ | ٨ | ٣,٨ - | ١٠٢٤ | ٩ | NNW | ٤ | ٢٠٠٥/١٣ |
| ٢ - | ٦ | ٥,٤ - | ١٠٢٩ | ٢ | ENE | ٠,٣ | ٢٠٠٧/٤ |
| ٤,٢ - | ٣ | ٨,٥ - | ١٠٢٩ | ٣ | ESE | ٠ | ٢٠٠٨/١٧ |

المصدر: نتائج التحليل التجمعي لقياسات الرئاسة العامة للأرصاد وحماية البيئة للفترة ١٩٨٥ - ٢٠٠٨ م

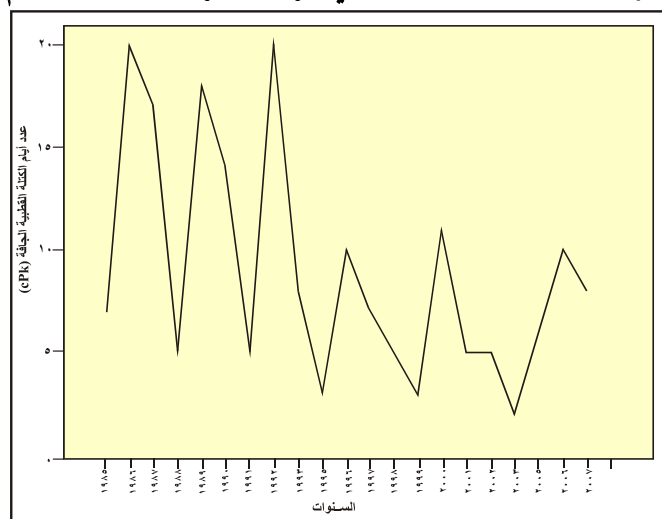
شكل رقم (٨) :

خط الاتجاه العام للسيادة الكتلة القطبية الجافة في طريف للفترة ١٩٨٥ - ٢٠٠٧ م



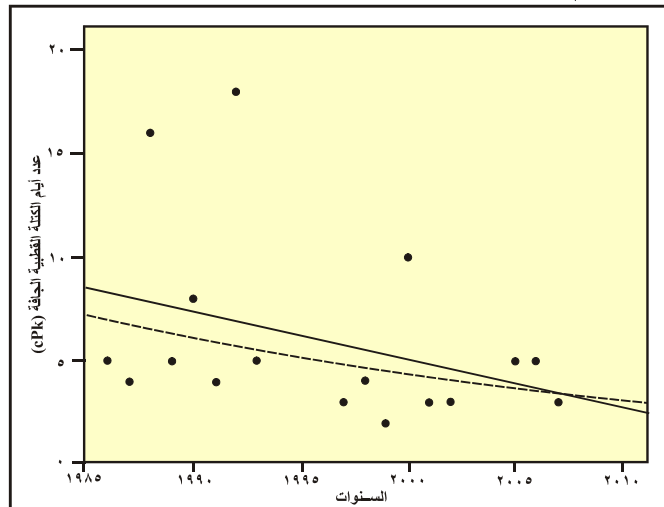
شكل رقم (٩) :

تطور سيادة الكتلة القطبية الجافة في طريف للفترة ١٩٨٥ - ٢٠٠٧ م



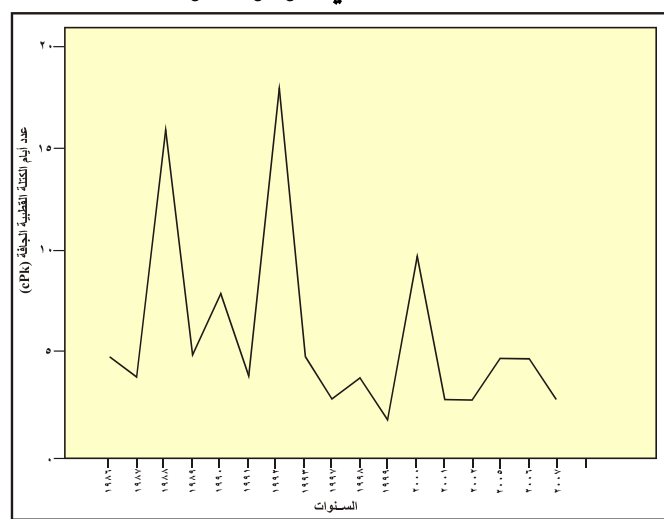
شكل رقم (١٠):

خط الاتجاه العام للسيادة الكتلة القطبية الجافة في عرعر للفترة ١٩٨٥ - ٢٠٠٧ م



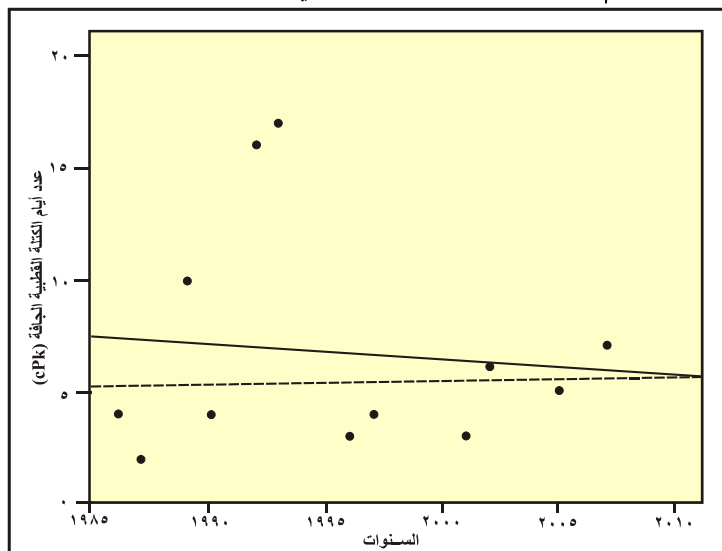
شكل رقم (١١):

تطور سيادة الكتلة القطبية الجافة في عرعر للفترة ١٩٨٥ - ٢٠٠٧ م



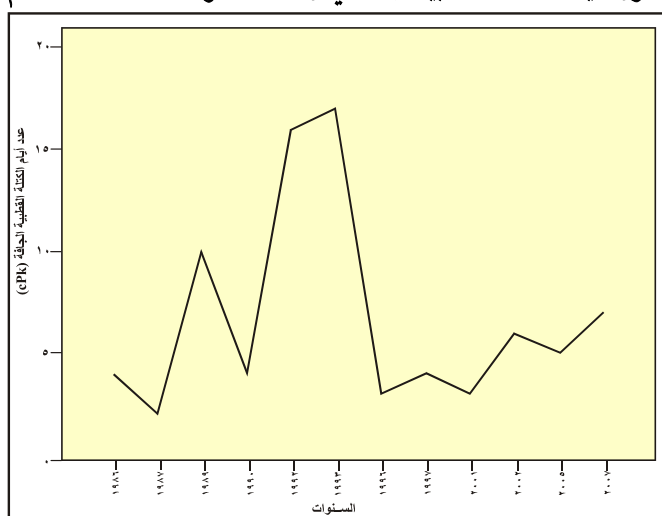
شكل رقم (١٢) :

خط الاتجاه العام للسيادة الكتلة القطبية الجافة في رفحاء للفترة ١٩٨٥ - ٢٠٠٧ م



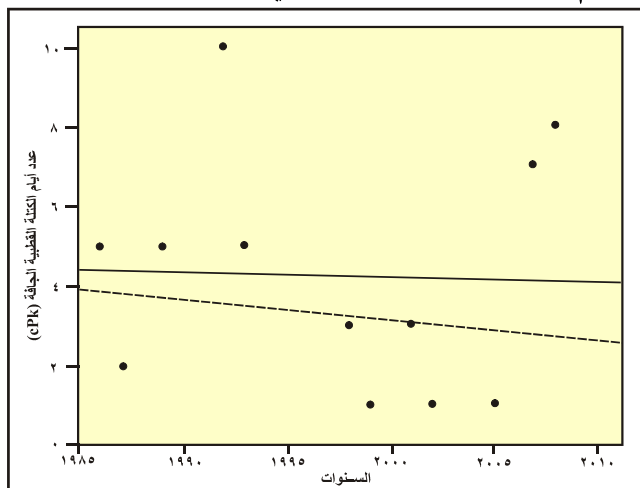
شكل رقم (١٣) :

تطور سيادة الكتلة القطبية الجافة في رفحاء للفترة ١٩٨٥ - ٢٠٠٧ م



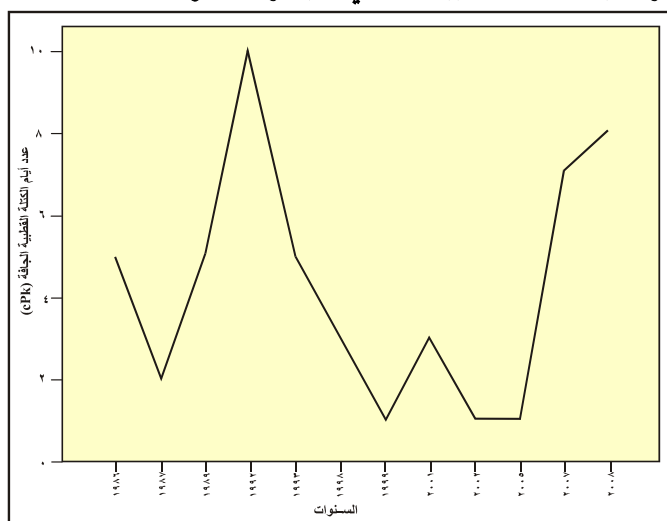
شكل رقم (١٤):

خط الاتجاه العام للسيادة الكتلة القطبية الجافة في القيسومة للفترة ١٩٨٥ - ٢٠٠٧ م



شكل رقم (١٥):

تطور سيادة الكتلة القطبية الجافة في القيسومة للفترة ١٩٨٥ - ٢٠٠٧ م



الخلاصة والتوصيات: خلص البحث إلى النتائج الآتية:

- ١ - حدد البحث الخصائص المناخية للكتل الهوائية السائدة في شمال المملكة العربية السعودية، وحدد عدد أيام سيادة كل كتلة، وتزيد عدد أيام سيادة الكتلة القطبية الجافة من الشرق باتجاه الشمال الغربي ، فالقيصومة ١١ يوماً ، وطريف ٥ أيام. وتزيد عدد أيام سيادة الكتلة القطبية الرطبة في الشمال الغربي ، وتناقص في الاتجاه الجنوبي والشرقي ، فهي في طريف ١١ يوماً ، وفي القيصومة وحائل ٦ أيام ، مرتبطة بحركة المنخفضات الجوية.
- ٢ - تستأثر الكتلة المدارية الجافة بنصيب أكبر في عدد أيام سيادتها ، حيث تتوارد في مناطقها الأصلية.
- ٣ - تشكل سيادة الكتلة القطبية الجافة والرطبة مجتمعةً نسبة ٥٠٪ تقريباً في شمال المملكة العربية السعودية .
- ٤ - أشارت نتائج اختبار التمايز للفصل بين الكتل الهوائية السائدة في شمال المملكة نتائج قوية ، وهي مؤشرات فاعلة لجودة الفصل بين الكتل ، وقد سجلت ٩٦٪ في طريف ، و٩٠٪ في عرعر ، و٨٦٪ في رفقاء ، و٩١٪ في القيصومة . وحددت أهمية المتغيرات المستقلة المؤثرة في فاعلية التصنيف ، وهي : نسبة تغطية السماء ، ودرجة الحرارة الدنيا .
- ٥ - أشار اتجاه التغير في سيادة الكتلة القطبية الجافة إلى تناقض واضح في عدد أيام سيادة الكتلة مع تطور الزمن .

- ٦ - وضَّحت الدراسة نتائج العلاقة الارتباطية بين المتغيرات المناخية، وعدد أيام سيادة الكتلة القطبية، وهي علاقة موجبة قوية وتساوي ٨٤,٦٪ في طريف، و٩٠٪ في عرعر، و٩٥٪ في رفقاء، و٩٣٪ في القيصومة. وأشارت الدراسة إلى أن قيم معاملات الاختلاف تساوي ٧٢٪، ٩١,٥٪، ٨٧٪، لكل من طريف وعرعر ورفقاء والقيصومة على التوالي، مما يدل على أن قيم الاختلاف في تكرارات الكتلة القطبية تُفسر بالاختلاف في المتغيرات المناخية بنسبة عالية، ونسبة بسيطة تعود للاختلافات العشوائية.
- ٧ - ترجح الدراسة أن التناقض في تردد الكتلة القطبية يشير إلى تناقض ملحوظ في تردد التيارات الباردة.
- ٨ - ترجح الدراسة أن تناقض تردد الكتلة القطبية الجافة يُفسر بحدوث دورات مناخية قصيرة المدى نظرًا لقصر فترة الدراسة.
- ٩ - توصي الدراسة بعمل أبحاث تفصيلية عن العلاقة بين الكتل الهوائية والمشكلات البيئية كالتلاؤث الجوي.
- ١٠ - توصي الدراسة بعمل أبحاث تفصيلية للعلاقة بين تردد الكتلة القطبية الجافة ومؤشرات الدفء العالمي.

المراجع

أولاً: المراجع العربية:

- بخرجي، فوزية عمر، ٢٠٠٣م، خصائص الرياح السطحية وآثارها البيئية في شمالي المملكة العربية السعودية، رسالة دكتوراه بحث غير منشور.
- الجراش، محمد عبدالله، ٢٠٠٤م، **الأساليب الكمية في الجغرافيا**، الدار السعودية للنشر والتوزيع.
- الرئاسة العامة للأرصاد وحماية البيئة، **البيانات المناخية اليومية السطحية للفترة ١٩٨٥ - ٢٠٠٨م**.
- الرئاسة العامة للأرصاد وحماية البيئة، **البيانات المناخية للطبقات العليا للفترة ١٩٩٣ - ١٩٩٩م**.

ثانياً: المراجع غير العربية:

- Davis, R.E. and Kalkstein, L.S., (1990), "A Using a Spatial Synoptic Climatological To Assess Change in Atmospheric Pollution Concentration", **Phys, Geoge**, Vol.11, Issue 4, pp. 320-342.
- Hansen, James, (1987), "Global Trends of Measured Surface Air Temperature", **Journal of Geophysical Research**, Vol.62, No. d11, pp. Vol. 13. 345-372.
- Higuchi, k., (1993), Trend in Air Temp Erasure and Precipitation for Canada and North Eastern, USA, **International Journal of Climatology**, Vol. 13, Issue 10, pp. 1115-1134.
- Kalkstein, L.S. Michael, C., (1996), "A New Spatial Synoptic Sllassification Application to Air Mass Analysis", **j., Climate**, Vol. Issue16, pp. 983-1004.

- Kalkstein, L.S., Dunne, p. and Vose, R., (1990), "Detection of Climatic Change in the Western North American Arctic Using a synoptic Climatological Approach", **J. Climate**", Vol.3, Issue 9, pp. 1153-1167.
- Lockwood, J., G, (1979), **Causes of Climate**, Edward Arnold.
- PedGIE-y. 4., (1974), "Winter and Spring Weather Al-Riyadh, Saudi Arabia", **Meteorological Magazine**, Vol. 103, Issue 5, pp. 225-336.
- Schwartz, M.P., (1991), "An integrated Approach to Air mass classification in the North Central United State", **The Profession at Geographer**, Vol. 43, Issue 1, pp. 77-91.
- Scott, G., and Kalkstein, L.S., (1996), "Quantitative Analysis of Summer Air Masses in the Eastern United States and an Application to human mortality", **Climate- Research**, Vol. 7, Issue 6, pp. 43-53.

الملاحق

ملحق رقم (١):

حساب درجة حرارة نقطة الندى °

$$TJ = \frac{B \times C}{A - C}$$

حيث :

Td = درجة حرارة نقطة الندى °.

$$227.3 = B$$

$$7.5 = A$$

وتحسب C بالمعادلة الآتية :

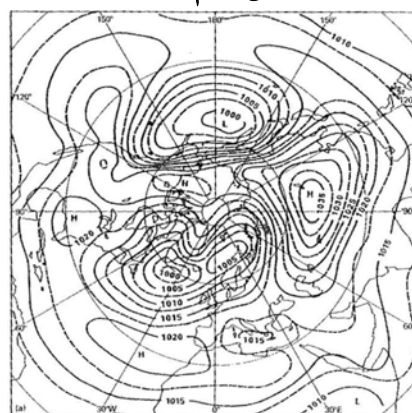
$$C = \log[e / 6.1078]$$

حيث C = متوسط ضغط بخار الماء الفعلي اليومي بالمilliars.

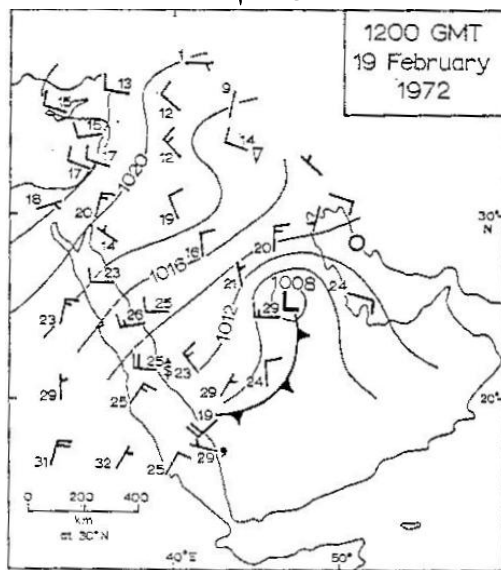
<http://www.agsci.kvl.dk/ncek/relhum.htm>

ملحق رقم (٢):

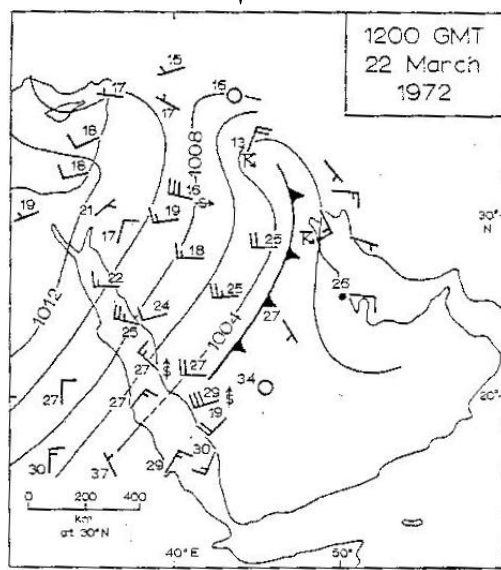
شكل رقم (١):



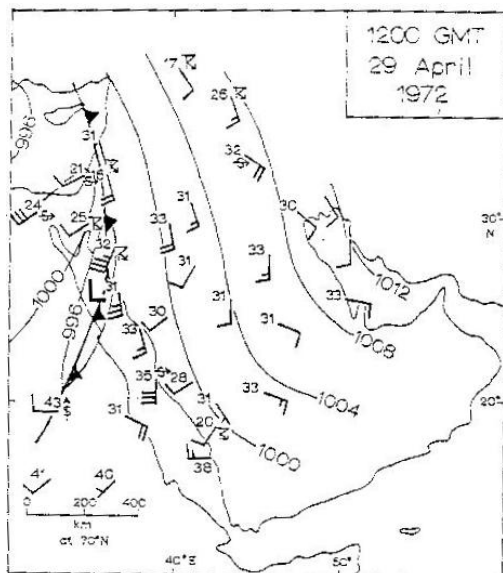
شكل رقم (٢) :



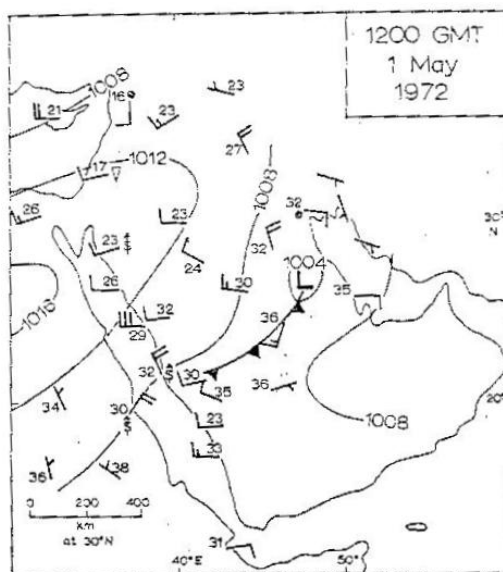
شكل رقم (٣) :



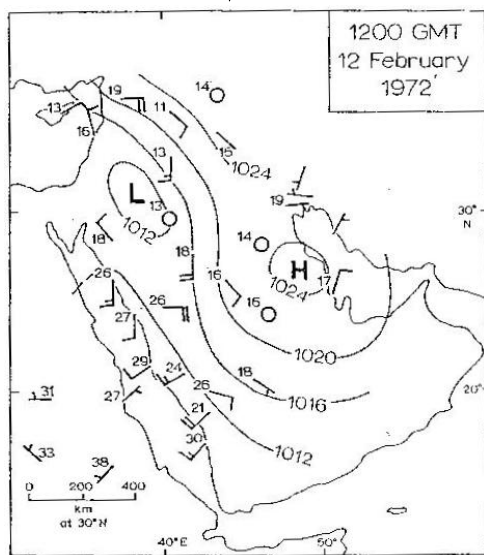
شكل رقم (٤):



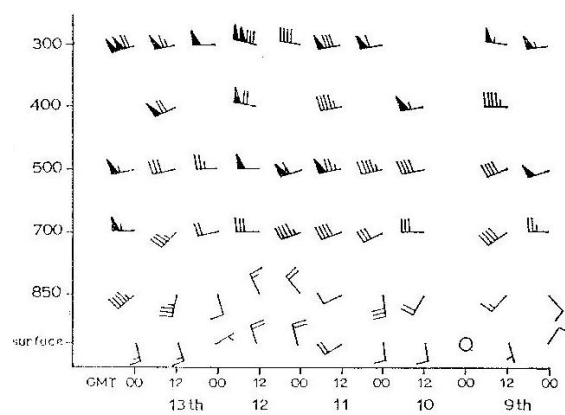
شكل رقم (٥):

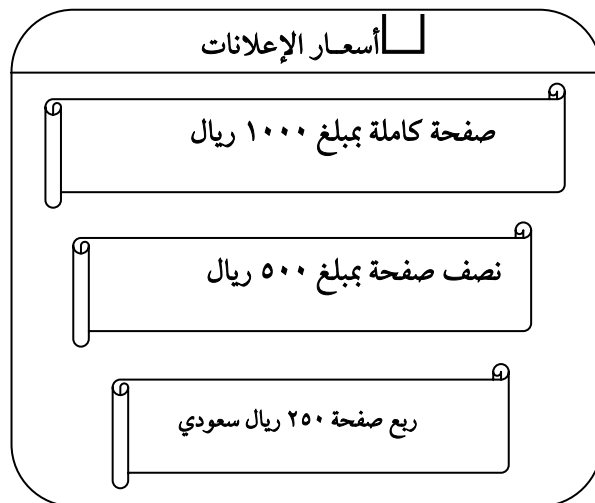
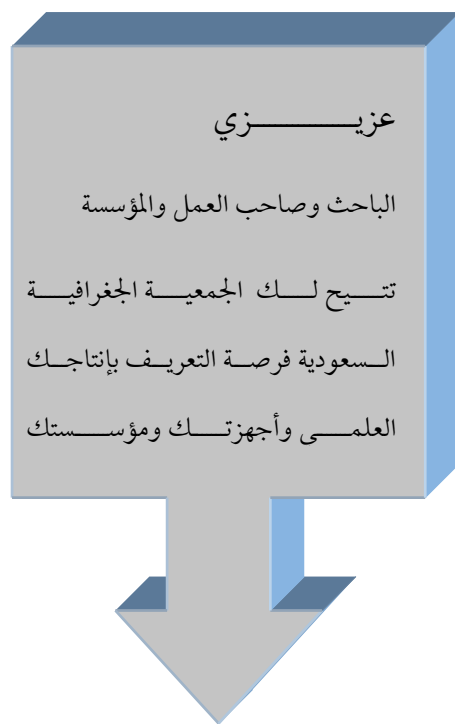


شكل رقم (٦):



شكل رقم (٧):





عزيزي عضو الجمعية الجغرافية السعودية

هل غيرت عنوانك؟ فضلاً أملأ الاستمارة المرفقة وأرسلها على عنوان الجمعية

الاسم :
العنوان :

..... ص ب

المدينة والرمز البريدي :
البلد :

الاتصالات الهاتفية :

عمل : منزل :

جوال : بيجر :

بريد إلكتروني :

ترسل على العنوان التالي

الجمعية الجغرافية السعودية

ص ب ٢٤٥٦ الرياض ١١٤٥

المملكة العربية السعودية

هاتف: ٩٦٦ ١ ٤٦٧٨٧٩٨ + فاكس: ٩٦٦ ١ ٤٦٧٧٧٣٢

بريد إلكتروني: sgs@ksu.edu.sa

كما يمكنكم زيارة موقع الجمعية على الإنترنت على العنوان التالي:

الإنترنت على العنوان التالي:

www.ksu.edu.sa/societies/sgs/

www.saudigs.org

آخر إصدارات سلسلة بحوث جغرافية:

- ٧٠ أهم خصائص رحلتي العمل والتعليم لنسيوبي جامعة الملك سعود بمدينة الرياض
- ٧١ استخدام صور الاستشعار عن بعد الرقمية عالية الوضوح المكانى لتحديد امتداد فيضانات السيول في سهل الخرج
- ٧٢ مستوى المحافظة على نظافة مخازن المياه المنزلية في مدينة الرياض وأثر خصائص السكان فيها
- ٧٣ تقدير الصبيب اليومي الأقصى للسيول بخوض وادي الكبير الرمال (التل الشرقي الجزائري).
- ٧٤ التحليل الجغرافي المقارن للمخطط التوجيهي الأول لمدينة الرياض (محظط دوكسيادس).
- ٧٥ التوافق المكانى بين الإستراحات وأنجاهات النمو العمراضى فى مدن القصيم
- ٧٦ جيمورفوجية ساحل العقير وإمكانية تسيير سياحياً بين رأس القرنة شمالاً وخشم أم حويض جنوباً (شرق السعودية)
- ٧٧ تقدير الاحتياجات المائية الشهرية للمحصول المرجعي في الأحساء
- ٧٨ الواقع الصناعي في مدينة الدمام بالمنطقة الشرقية من المملكة العربية السعودية
- ٧٩ التصنيفات العالمية للطرق البرية وطبقاتها في المملكة العربية السعودية
- ٨٠ درجة حرارة أيام للتدافئة والتبريد عند عينات حرارية متباعدة في المنطقة الشرقية
- ٨١ توظيف تكاملى لتقنيات الإستشعار من بعد ونظم المعلومات الجغرافية
- ٨٢ ثروذج شبكة عصبية اصطناعية لتقدير المحتوى المائي عند السعة الحقلية
وعند نقطة الذبول الدائم في الترب الصحراوية.
- ٨٣ إمكانية تطبيق نظام النقل الترددى بالحالات على حجاج الداخل
- ٨٤ الخصائص الميدرومورفومترية وخصائص السيول في أحواض السدود المقترحة
على أودية علية في محافظة الخرج
- ٨٥ التوطين المكانى للتركيب المخصوصى في ظل محدودية الموارد المائية في المملكة
- ٨٦ تقييم أداء أساليب التقدير البيئي المكانى لسبة الماء المناخ في ترب منطقة الخرج
- ٨٧ تقييم النفايات الطبية المنزلية في أنها الحضرية في منطقة عسير بالمملكة العربية السعودية
- (دراسة استطلاعية)
- ٨٨ الصناعات الصغيرة والتوصية الحجم في دولة الكويت:
خصائصها الجغرافية وأنجاهاتها المستقبلية
- ٨٩ آراء الجغرافيين العرب حول مفهوم علم الجغرافيا ومستقبله
- ٩٠ خصائص المناخ لفترات النؤمة بمحافظة خميس مشيط
- ٩١ خريطة مخاطر الفيضانات والسيول في مدينة جدة

Price Listing Per Copy :

Individuals: 15 S.R.

Institutions: 20 S.R.

Handing & Mailing Charges are Added on the Above Listing

أسعار البيع :

سعر النسخة الواحدة للأعضاء : ١٥ ريالات سعودية.

سعر النسخة الواحدة للمؤسسات : ٢٠ ريالاً سعودياً .

تضالف إلى هذه الأسعار أجراً البريد.

*The Relationship Between Winter Air Masses And Climate
Characteristics in The North of Saudi Arabia*
Dr. Fawzeyah Omer H. Bakharji

Abstract:

In previous research entitled "characteristics of wind surface and its environmental effects in north Saudi Arabia", the air masses prevailing in northern Saudi Arabia were classified, and the number of days of each mass. This has raised several questions, including: What is the relationship between the climatic characteristics of air masses and the general nature of climate prevailing in the region? What is the relationship between the frequencies of dry polar clusters and temperatures in the northern region?

This study presents a classification of the air masses prevailing in the Kingdom, through the use of daily weather patterns. Through this, we can determine the relationship between the detailed climate characteristics for the prevailing air masses and the general climatic feature in January. We can also determine the general change by using the number of days for each mass. The research concluded that the two polar masses "Dry and Humid" merge in 45-56% in January in the north of the kingdom, while the dry air mass merge in 44-55% in January. This is in the study period that is 1985-2007. The general change revealed that there is the decline in the prevailing of dry polar mass, which is due to a decrease in cold currents.

ISSN 1018-1423
Key title =Buhut Gugrafiyya

●**Administrative Board of the Saudi Geographical Society** ●

| | | |
|----------------------------|--------------|-----------------------------------|
| Mohammed S. Makki | Prof. | Chairman. |
| Mohammed S. Al-Rebdi | Assoc. Prof | Vice-Chairman. |
| Ali A. Al Dosari | Assoc. Prof. | Secretary General. |
| Mohammed A. Al-Fadhel | Assoc. Prof. | Treasurer. |
| Mohammed A. Meshkhes | Assoc. Prof. | Head of Research and Studies Unit |
| Abdullah S. Al-Hudaithy | Prof. | Member |
| Anbara kh. Belal | Assis. Prof. | Editor of Geographical Newsletter |
| Mohamed Ibrahim Aldagheiri | Assis. Prof. | Member |
| Mohammed D. Aldakhil | Assis. Prof | Member. |

RESEARCH PAPERS IN GEOGRAPHY

REFEREED PERIODICAL PUBLISHED BY SAUDI GEOGRAPHICAL SOCIETY

92

The Relationship Between Winter Air Masses And Characteristics in The North of Saudi Arabia

Dr. Fawzeyah Omer H. Bakharji

King Saud University - Riyadh
Kingdom of Saudi Arabia
1431 A.H. - 2010 A.D.

Saudi Geographical Society (S.G.S.)

● Editorial Board ●

| | | |
|------------------|----------------------|----------|
| Editor-in-Chief: | Mohammed A. Al-Saleh | (Ph.D.). |
| Editorial Board: | Abdulla A. Al-Taher | (Ph.D.). |
| | Mohammed S. Al-Rebdi | (Ph.D.). |
| | Mohammed A. Meshkhes | (Ph.D.). |
| | Saad N. Alhussein | (Ph.D.). |

● Advisory Board ●

| | |
|--|--------------------------------------|
| Nasser. A. Al-Saleh, Ph.D., Professor | Umm Al-Qura University. |
| Amal Yusof A. Al-Sabah, Ph.D., Professor | University of Kuwait. |
| Hassan A. Saleh, Ph.D., Professor | The University of Jordan. |
| Mohammed A. Al-Gabbani Ph.D., Professor | King Saud University. |
| Abdullah N. Al-Welaie, Ph.D., Professor | Imam Mohammed Bin Saud Islamic Univ. |

● Correspondence Address ●

All Research Papers and Editorial Correspondence Should be sent to
The Editor-in-Chief, Dept. of Geography
College of Arts, King Saud University
P.O.Box 2456 Riyadh 11451
Kingdom of Saudi Arabia
Tel: 4678798 Fax: 4677732
E-Mail: sgs@ksu.edu.sa

All Views Expressed by Contributors to the RESEARCH PAPERS IN
GEOGRAPHY do not Necessarily Reflect the Position of the Editorial Board or
the Saudi Geographical Society



REFEREED PERIODICAL PUBLISHED BY SAUDI GEOGRAPHICAL SOCIETY

92

The Relationship Between Winter Air Masses And Characteristics in The North of Saudi Arabia

Dr. Fawzeyah Omer H. Bakharji